

1

annexe/appendix

Figures 1.1 à 1.61

Figures 1.1 to 1.61

Tableaux 1.1 à 1.12

Tables 1.1 to 1.12

Analyse des sous-populations de souches selon leur niveau de sensibilité (informations de type 1)

*Sub-population analysis of isolates
according to their susceptibility level
(type 1 information)*

ANNEXE 1 / APPENDIX 1

Dans les figures suivantes, la valeur de diamètre 36 mm correspond en fait à ≥ 36 mm. En effet, 36 mm est souvent la valeur maximale mesurée par les caméras ou entrée dans les systèmes de gestion des laboratoires.
D et d représentant les valeurs supérieurs et inférieures des diamètres critiques.

*In the following figures, the 36 mm diameter value corresponds to ≥ 36 mm. Indeed, 36 mm is often the highest value given by automatic cameras or recorded in laboratory information systems.
D and d represent the high and low critical values of diameters.*

Figure 1.1

Escherichia coli (422 souches) : distribution des diamètres d'inhibition pour l'amoxicilline, souches isolées de bactériémies.

Escherichia coli (422 strains): distribution of inhibition zone diameters for amoxicillin, strains isolated from bacteraemia (réseau Azay-résistance, 2004).

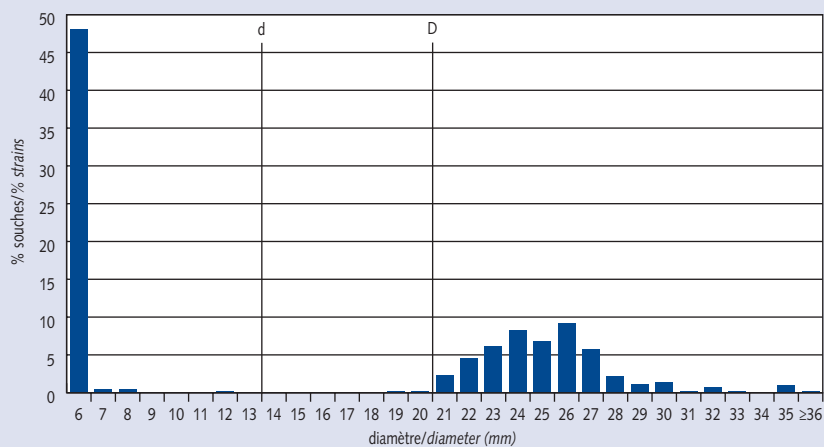


Figure 1.2

Escherichia coli (282 souches) : distribution des diamètres d'inhibition pour l'association amoxicilline-clavulanate, souches isolées de bactériémies.

Escherichia coli (282 strains): distribution of inhibition zone diameters for amoxicillin-clavulanate, strains isolated from bacteraemia (réseau Azay-résistance, 2004).

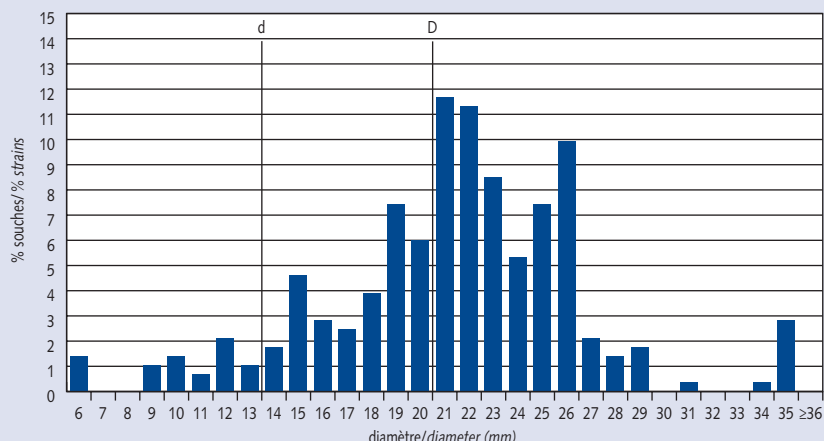


Figure 1.3

Escherichia coli (421 souches) : distribution des diamètres d'inhibition pour le céfotaxime, souches isolées de bactériémies.

Escherichia coli (421 strains) : distribution of inhibition zone diameters for cefotaxime, strains isolated from bacteraemia (réseau Azay-résistance, 2004).

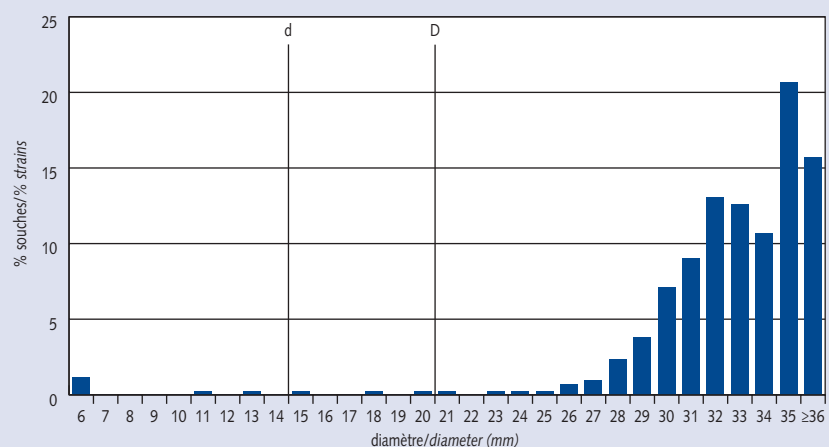


Figure 1.4

Escherichia coli (416 souches) : distribution des diamètres d'inhibition pour l'imipénème, souches isolées de bactériémies.

Escherichia coli (416 strains) : distribution of inhibition zone diameters for imipenem, strains isolated from bacteraemia (réseau Azay-résistance, 2004).

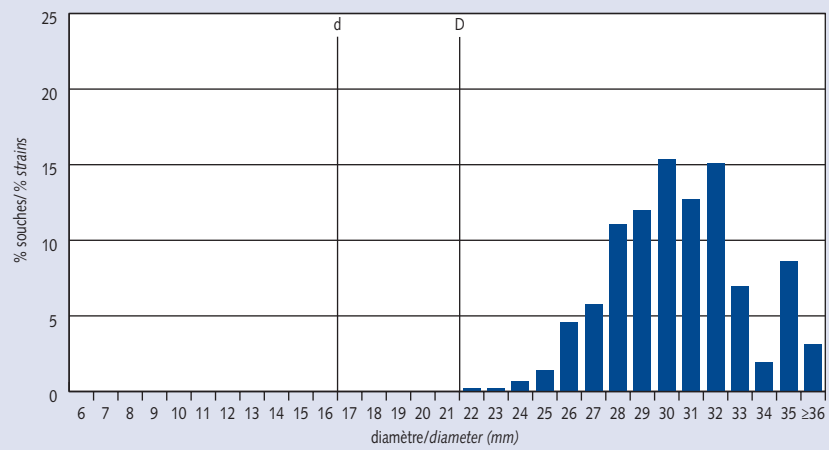


Figure 1.5

Escherichia coli (869 souches) : distribution des diamètres d'inhibition pour l'acide nalidixique, souches isolées de bactériémies.

Escherichia coli (869 strains) : distribution of inhibition zone diameters for nalidixic acid, strains isolated from bacteraemia (réseau Azay-résistance, 2004).

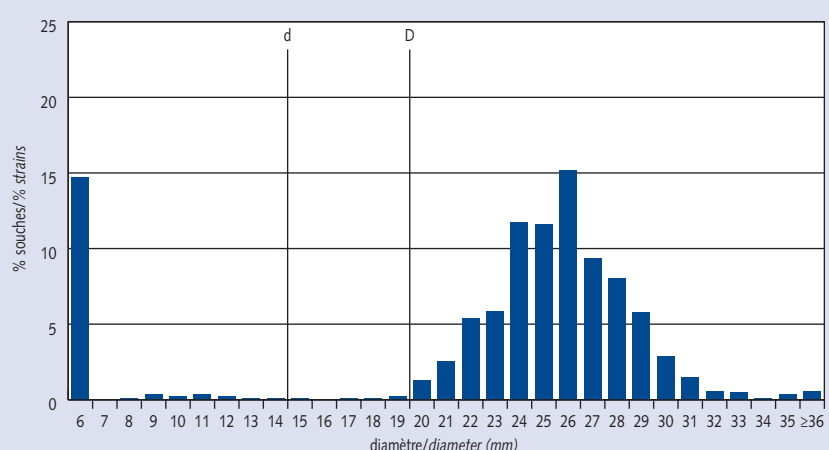


Figure 1.6

Escherichia coli (421 souches) : distribution des diamètres d'inhibition pour la gentamicine, souches isolées de bactériémies.

Escherichia coli (421 strains): distribution of inhibition zone diameters for gentamicin, strains isolated from bacteraemia (réseau Azay-résistance, 2004).

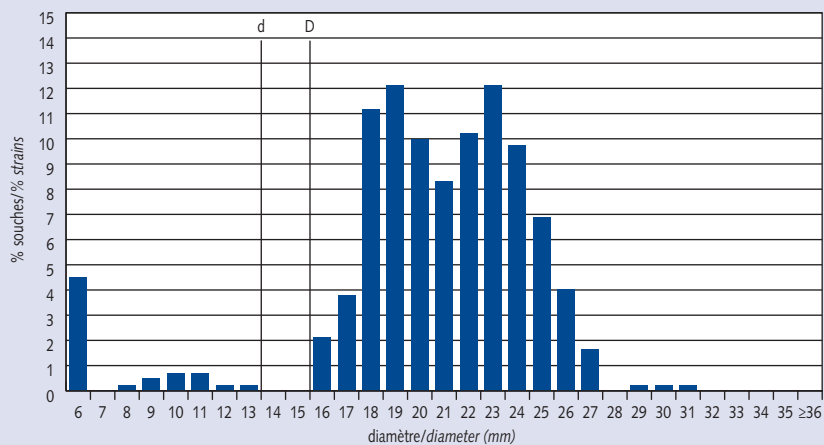


Figure 1.7

Escherichia coli (711 souches) : distribution des diamètres d'inhibition pour la ciprofloxacine, souches isolées de bactériémies.

Escherichia coli (711 strains): distribution of inhibition zone diameters for ciprofloxacin, strains isolated from bacteraemia (réseau Azay-résistance, 2004).

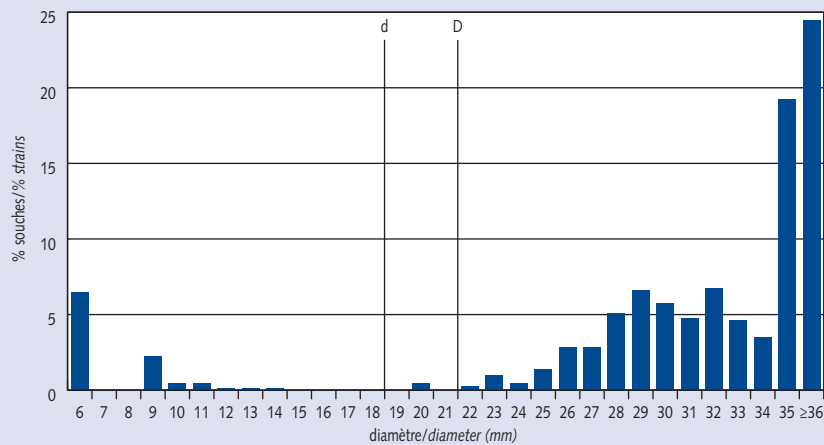


Figure 1.8

Escherichia coli (595 souches) : distribution des diamètres d'inhibition pour la ciprofloxacine sur les souches sensibles à l'acide nalidixique, souches isolées de bactériémies.

Escherichia coli (595 strains): distribution of inhibition zone diameters for ciprofloxacin of strains susceptible to nalidixic acid, strains isolated from bacteraemia (réseau Azay-résistance, 2004).

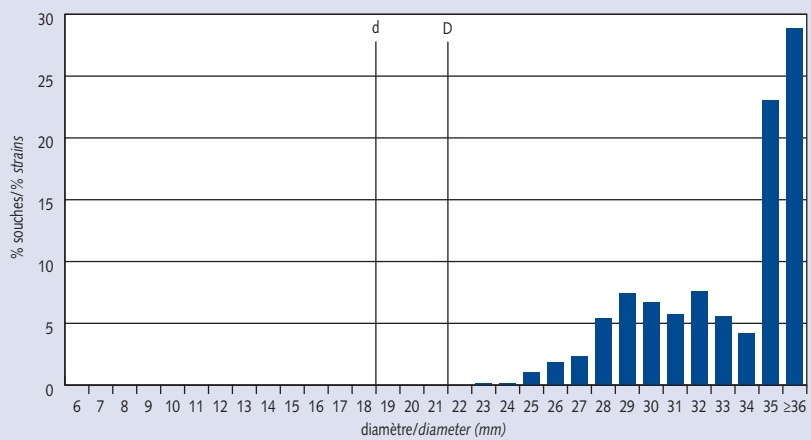


Figure 1.9

Escherichia coli (113 souches) : distribution des diamètres d'inhibition pour la ciprofloxacine sur les souches intermédiaires ou résistantes à l'acide nalidixique, souches isolées de bactériémies.

Escherichia coli (113 strains): distribution of inhibition zone diameters for ciprofloxacin of nalidixic acid non-susceptible strains (I+R), strains isolated from bacteraemia (réseau Azay-résistance, 2004).

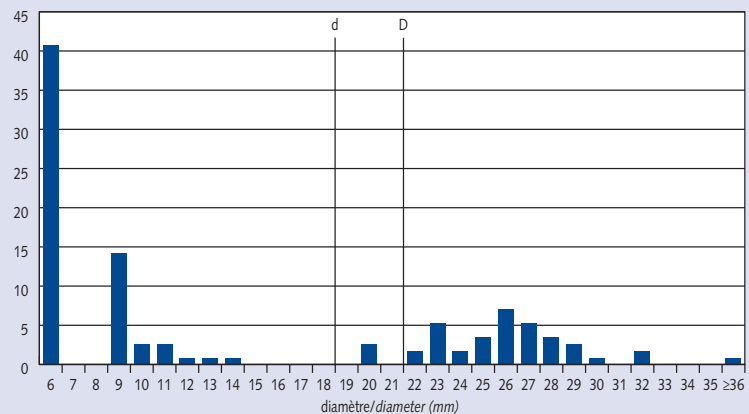


Figure 1.10

Escherichia coli (141 souches) : distribution des diamètres d'inhibition pour l'amoxicilline-clavulanate sur les souches sensibles à l'amoxicilline, souches isolées de bactériémies.

Escherichia coli (141 strains): distribution of inhibition zone diameters for amoxicillin-clavulanate on strains susceptible to amoxicillin, strains isolated from bacteraemia (réseau Azay-résistance, 2004).

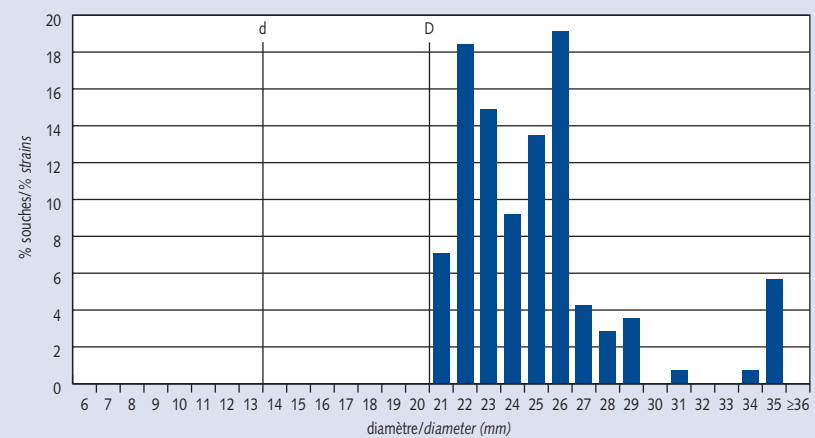


Figure 1.11

Escherichia coli (140 souches) : distribution des diamètres d'inhibition pour l'amoxicilline-clavulanate sur les souches non sensibles (I+R) à l'amoxicilline, souches isolées de bactériémies.

Escherichia coli (140 strains): distribution of inhibition zone diameters for amoxicillin-clavulanate on amoxicillin non-susceptible strains (I+R), strains isolated from bacteraemia (réseau Azay-résistance, 2004).

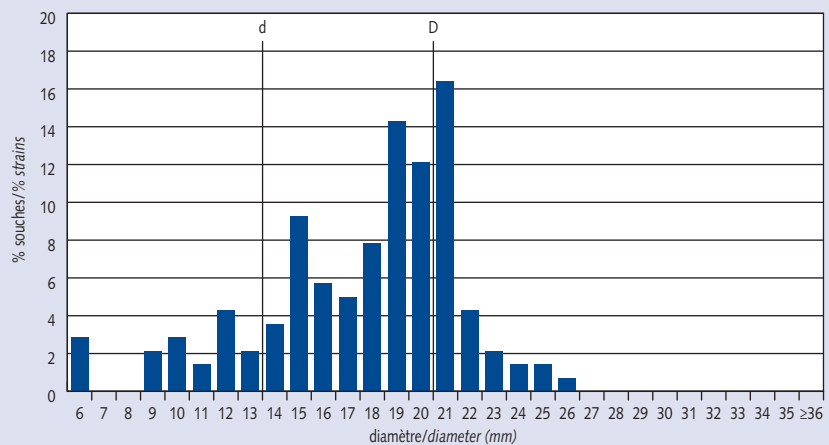


Figure 1.12

Escherichia coli (272 souches) : distribution des diamètres d'inhibition pour le cotrimoxazole.

Escherichia coli (272 strains) : distribution of inhibition zone diameters for cotrimoxazole, strains isolated from bacteraemia (réseau Azay-résistance, 2004).

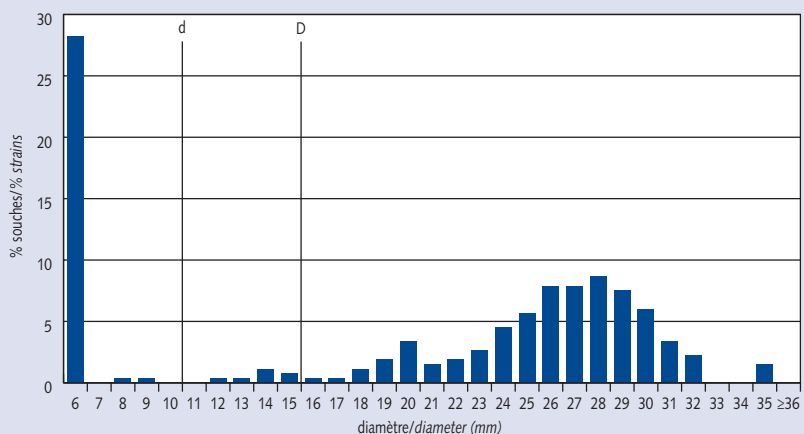


Figure 1.13

Escherichia coli (7 044 souches) : distribution des diamètres d'inhibition pour l'ofloxacine.

Escherichia coli (7 044 strains) : distribution of inhibition zone diameters for ofloxacin (réseau REUSSIR, 2004).

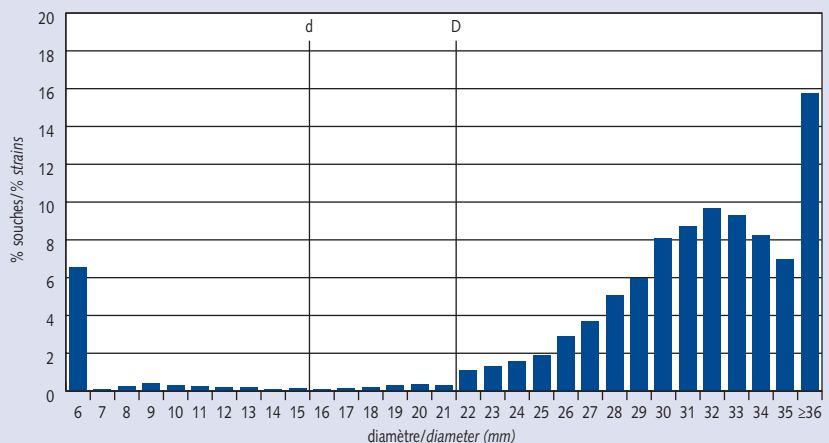


Figure 1.14

Escherichia coli (8 224 souches) : distribution des diamètres d'inhibition pour la ciprofloxacine.

Escherichia coli (8 224 strains) : distribution of inhibition zone diameters for ciprofloxacin (réseau REUSSIR, 2004).

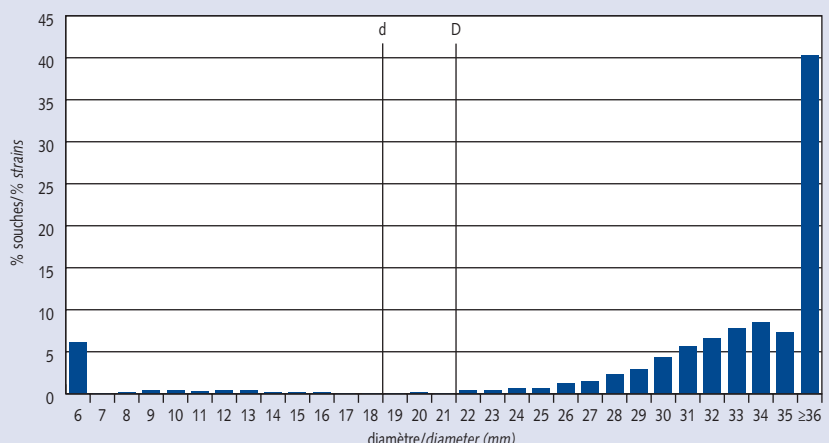


Figure 1.15

Escherichia coli (4 316 souches) : distribution des diamètres d'inhibition pour l'ofloxacine sur les souches sensibles à l'acide nalidixique.

Escherichia coli (4 316 strains): distribution of inhibition zone diameters for ofloxacin on isolates susceptible to nalidixic acid (réseau REUSSIR, 2004).

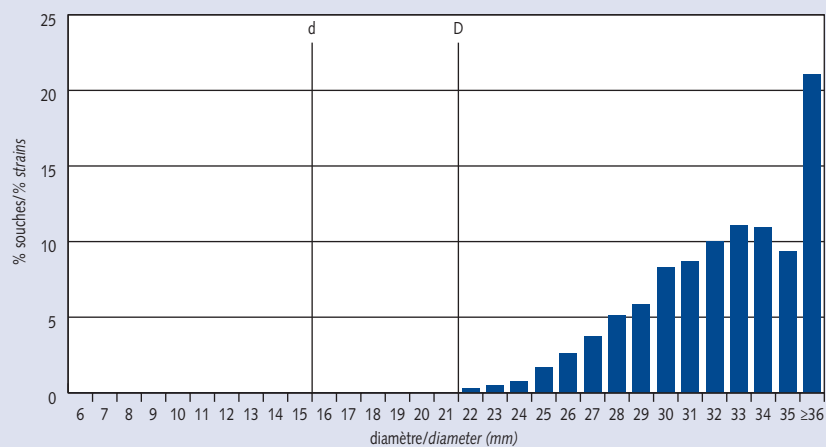


Figure 1.16

Escherichia coli (6 391 souches) : distribution des diamètres d'inhibition pour la ciprofloxacine sur les souches sensibles à l'acide nalidixique.

Escherichia coli (6 391 strains): distribution of inhibition zone diameters for ciprofloxacin on isolates susceptible to nalidixic acid (réseau REUSSIR, 2004).

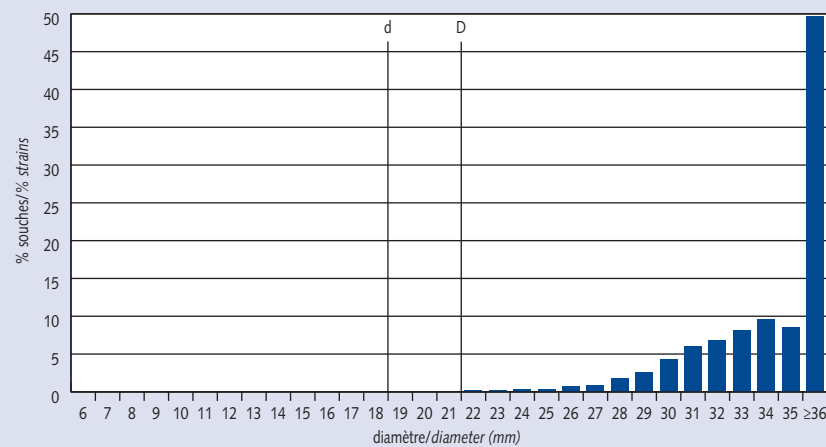


Figure 1.17

Escherichia coli (845 souches) : distribution des diamètres d'inhibition pour l'ofloxacine sur les souches non sensibles (I+R) à l'acide nalidixique.

Escherichia coli (845 strains): distribution of inhibition zone diameters for ofloxacin on isolates not susceptible (I+R) to nalidixic acid (réseau REUSSIR, 2004).

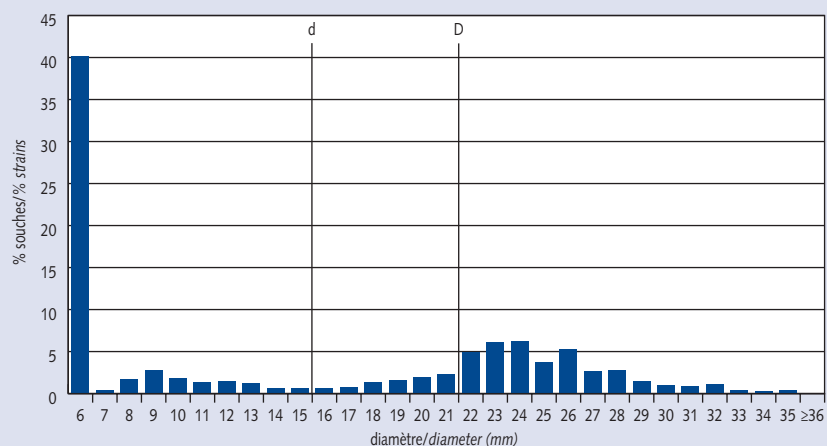


Figure 1.18

Escherichia coli (1 256 souches) : distribution des diamètres d'inhibition pour la ciprofloxacine sur les souches non sensibles (I+R) à l'acide nalidixique.

Escherichia coli (1 256 strains): distribution of inhibition zone diameters for ciprofloxacin on isolates not susceptible (I+R) to nalidixic acid (réseau REUSSIR, 2004).

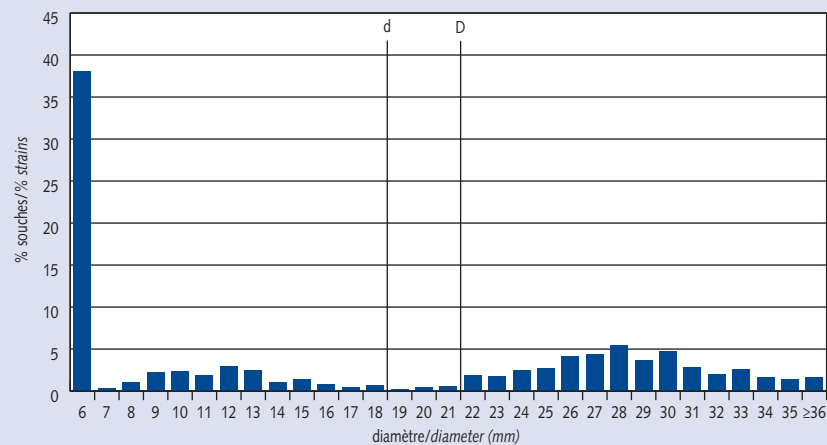


Figure 1.19

Escherichia coli (237 souches) : distribution des diamètres d'inhibition pour le céfotaxime sur les souches sécrétrices de BLSE.
Escherichia coli (237 strains): distribution of inhibition zone diameters for cefotaxime on ESBL-producing strains (réseau REUSSIR, 2004).

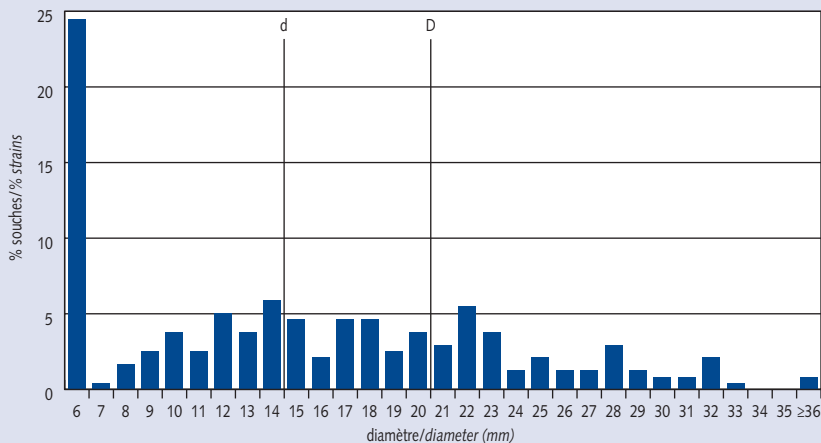


Figure 1.20

Escherichia coli (227 souches) : distribution des diamètres d'inhibition pour la ceftazidime sur les souches sécrétrices de BLSE.
Escherichia coli (227 strains): distribution of inhibition zone diameters for ceftazidime on ESBL-producing strains (réseau REUSSIR, 2004).

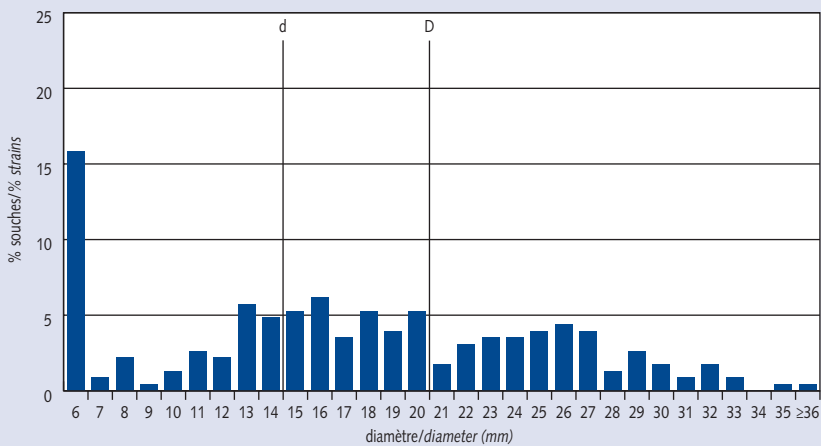
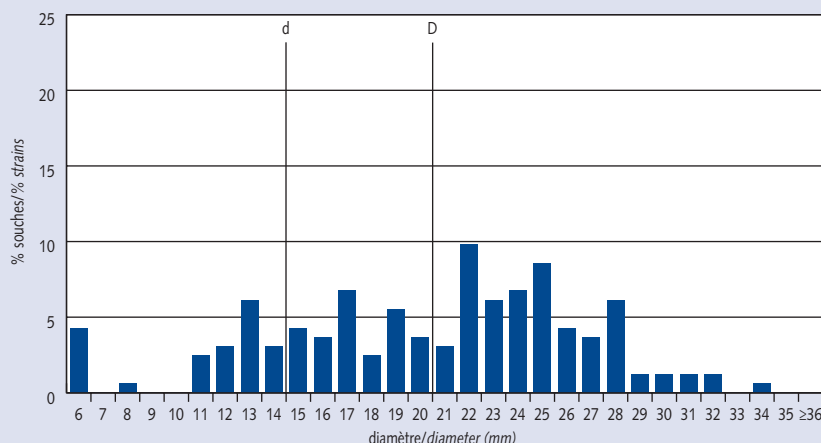


Figure 1.21

Escherichia coli (163 souches) : distribution des diamètres d'inhibition pour le céfèpime sur les souches sécrétrices de BLSE.
Escherichia coli (163 strains): distribution of inhibition zone diameters for cefepime on ESBL-producing strains (réseau REUSSIR, 2004).



ANNEXE 1 / APPENDIX 1

Figure 1.22

Enterobacter aerogenes
(803 souches) :
distribution des
diamètres d'inhibition
pour le céfotaxime.

Enterobacter aerogenes
(803 strains):
distribution of inhibition
zone diameters for
cefotaxime (réseau
REUSSIR, 2004).

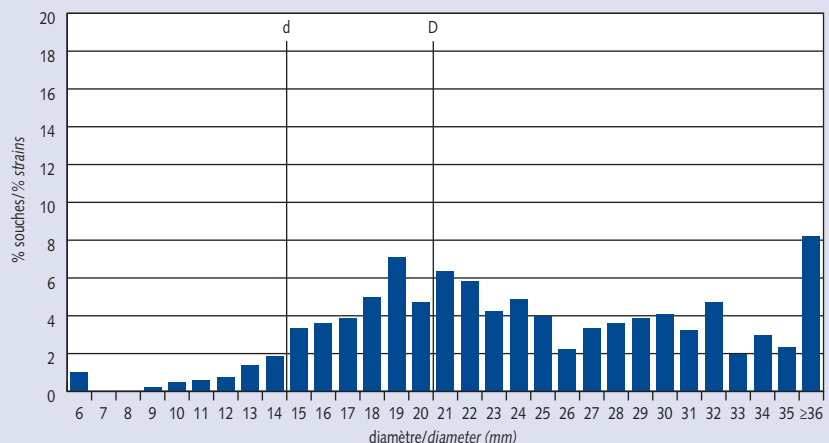


Figure 1.23

Enterobacter aerogenes
(536 souches) :
distribution des
diamètres d'inhibition
pour le céfèpime.

Enterobacter aerogenes
(536 strains):
distribution of inhibition
zone diameters for
cefepime (réseau
REUSSIR, 2004).

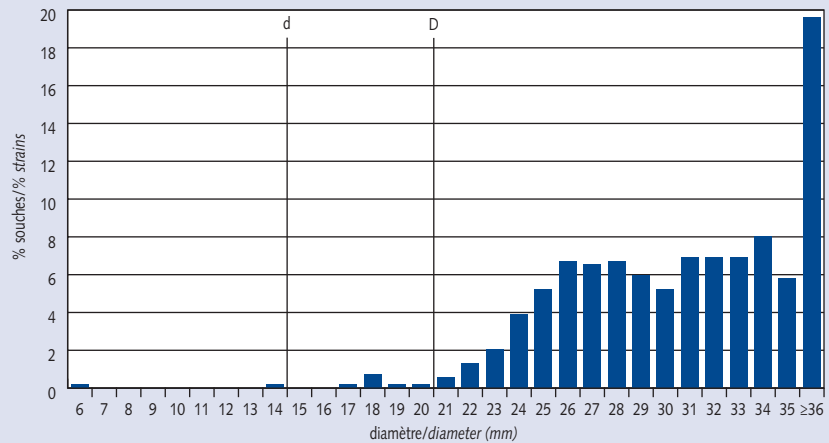


Figure 1.24

Enterobacter aerogenes
(481 souches) :
distribution des
diamètres d'inhibition
pour l'imipénème.

Enterobacter aerogenes
(481 strains):
*distribution of inhibition
zone diameters for
imipenem (réseau
REUSSIR, 2004).*

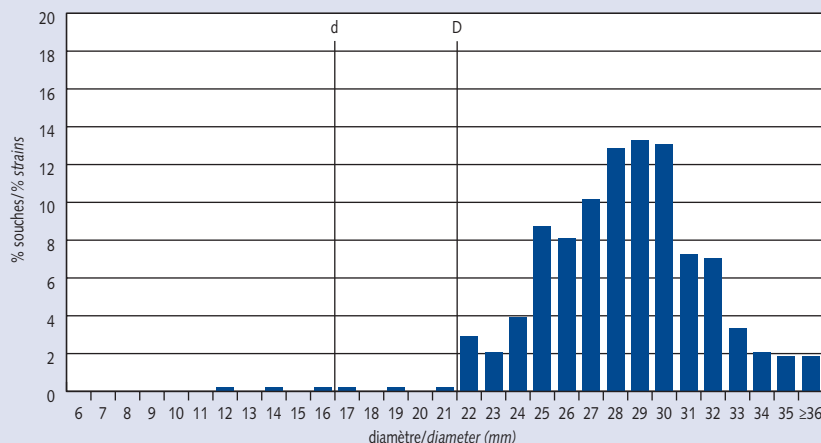


Figure 1.25

Enterobacter aerogenes
(257 souches) :
distribution des
diamètres d'inhibition
pour le céfèpime sur les
souches intermédiaires
au céfotaxime.

Enterobacter aerogenes
(257 strains):
*distribution of inhibition
zone diameters for
cefepime on isolates
of Intermediate
susceptibility to
cefotaxime (réseau
REUSSIR, 2004).*

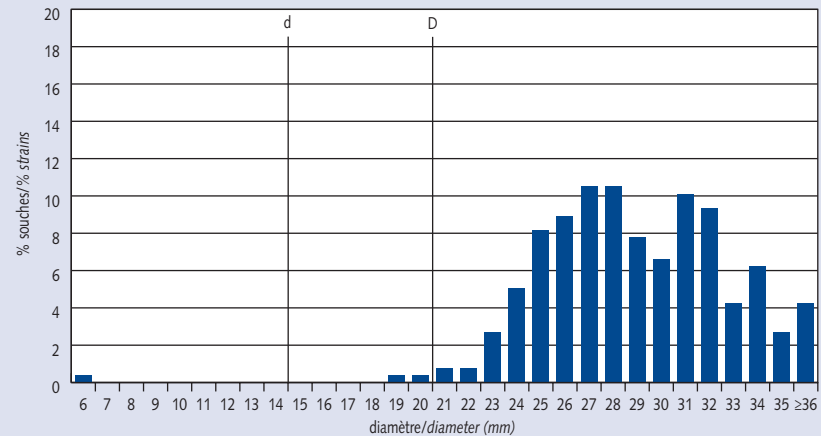


Figure 1.26

Enterobacter aerogenes
(78 souches) :
distribution des
diamètres d'inhibition
pour le céfèpime sur les
souches résistantes au
céfotaxime.

Enterobacter aerogenes
(78 strains):
*distribution of inhibition
zone diameters for cefepime
on isolates Resistance
to cefotaxime (réseau
REUSSIR, 2004).*

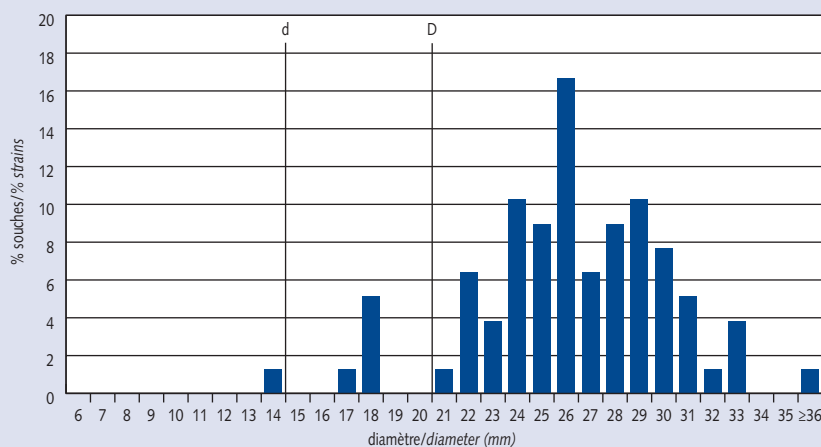


Figure 1.27

Enterobacter aerogenes
(194 souches) :
distribution des
diamètres d'inhibition
pour l'imipénème sur
les souches sensibles au
céfotaxime.
Enterobacter aerogenes
(194 strains):
distribution of inhibition
zone diameters
for imipenem on
isolates susceptible
to cefotaxime (réseau
REUSSIR, 2004).

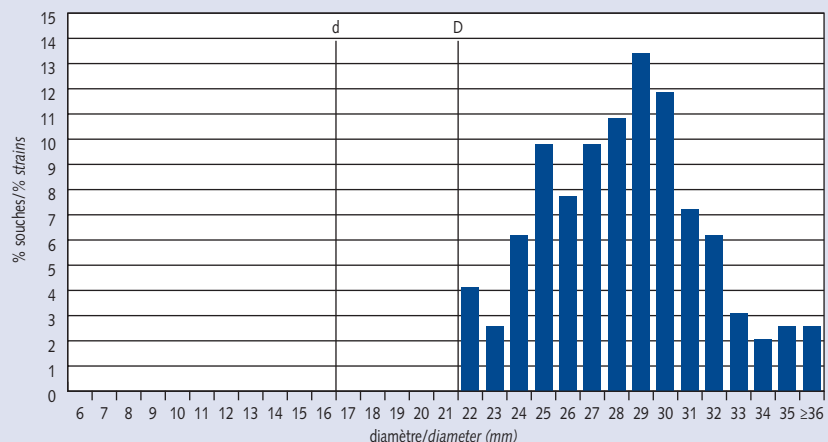


Figure 1.28

Enterobacter aerogenes
(288 souches) :
distribution des
diamètres d'inhibition
pour l'imipénème sur les
souches résistantes au
céfotaxime.
Enterobacter aerogenes
(288 strains):
distribution of inhibition
zone diameters for
imipenem on isolates
not susceptible (I+R)
to cefotaxime (réseau
REUSSIR, 2004).

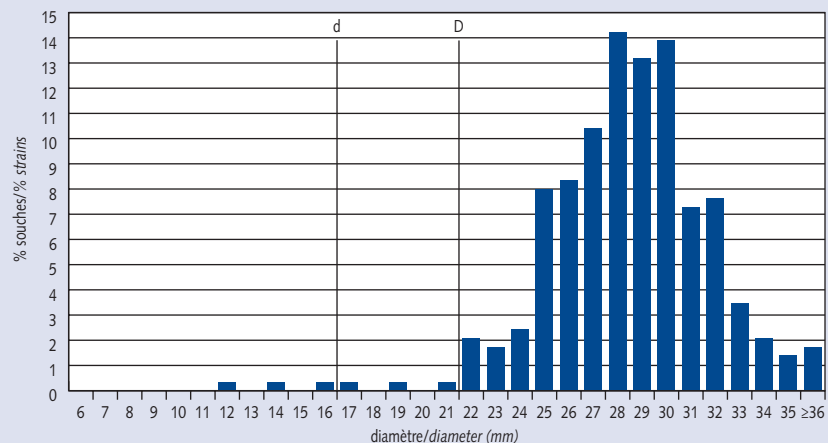


Figure 1.29

Enterobacter aerogenes
(334 souches) :
distribution des
diamètres d'inhibition
pour le céfotaxime sur
les souches sécrétrices
de BLSE.
Enterobacter aerogenes
(334 strains):
distribution of inhibition
zone diameters for
cefotaxime on ESBL-
producing strains
(réseau REUSSIR, 2004).

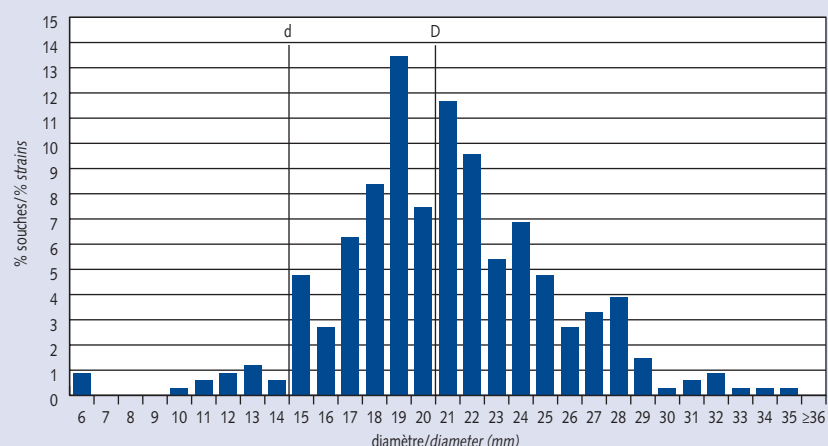
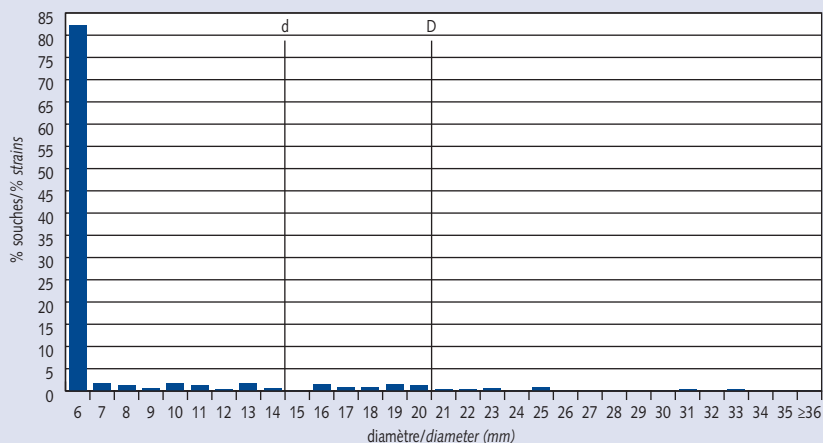


Figure 1.30

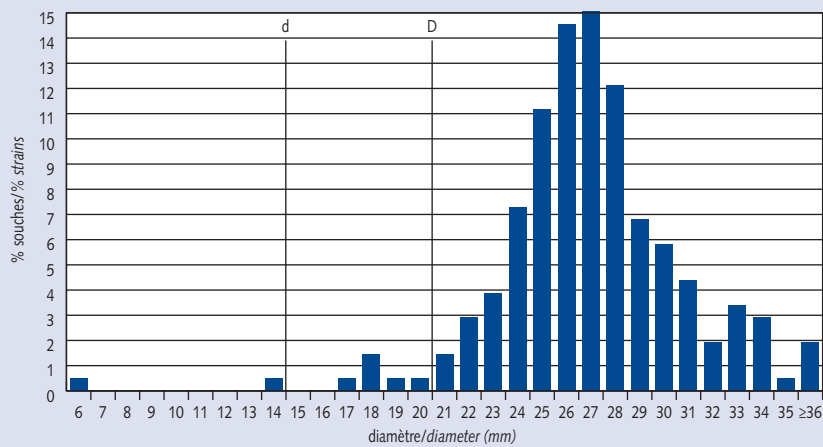
Enterobacter aerogenes
(335 souches) :
distribution des
diamètres d'inhibition
pour la ceftazidime sur
les souches sécrétrices
de BLSE.

Enterobacter aerogenes
(335 strains):
distribution of inhibition
zone diameters for
ceftazidim for ESBL-
producing strains
(réseau REUSSIR, 2004).


Figure 1.31

Enterobacter aerogenes
(206 souches) :
distribution des
diamètres d'inhibition
pour le céfèpime sur les
souches sécrétrices de
BLSE.

Enterobacter aerogenes
(206 strains):
distribution of inhibition
zone diameters for
cefepime on ESBL-
producing strains
(réseau REUSSIR, 2004).


Figure 1.32

Enterobacter cloacae
(1 296 souches) :
distribution des
diamètres d'inhibition
pour le céfotaxime.

Enterobacter cloacae
(1 296 strains):
distribution of inhibition
zone diameters for
cefotaxime (réseau
REUSSIR, 2004).

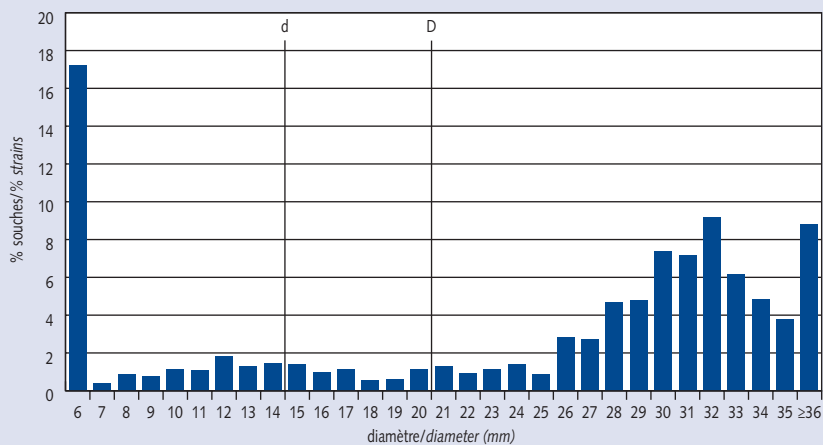


Figure 1.33

Enterobacter cloacae (900 souches) : distribution des diamètres d'inhibition pour le céfèpime.

Enterobacter cloacae (900 strains): distribution of inhibition zone diameters for cefepime (réseau REUSSIR, 2004).

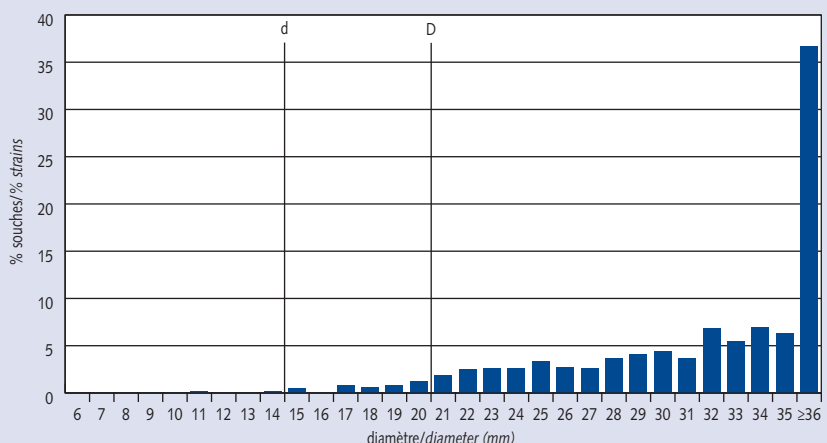


Figure 1.34

Enterobacter cloacae (894 souches) : distribution des diamètres d'inhibition pour l'imipénème.

Enterobacter cloacae (894 strains): distribution of inhibition zone diameters for imipenem (réseau REUSSIR, 2004).

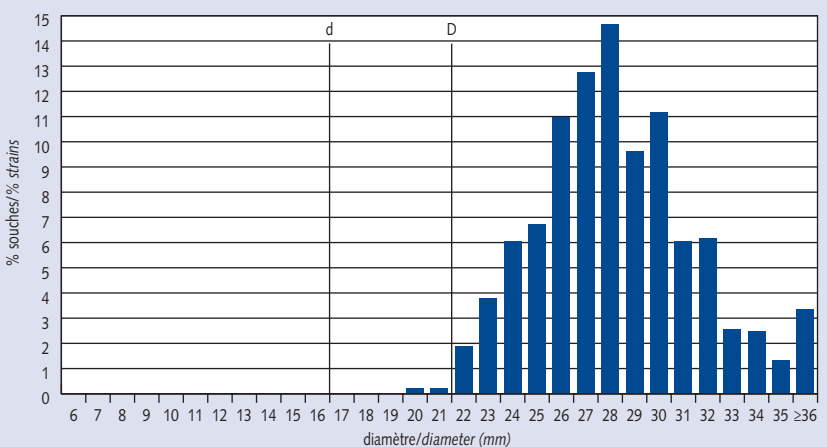


Figure 1.35

Enterobacter cloacae (64 souches) : distribution des diamètres d'inhibition pour le céfèpime sur les souches intermédiaires à le céfotaxime.

Enterobacter cloacae (64 strains): distribution of inhibition zone diameters for cefepime on isolates of intermediate susceptibility to cefotaxime (réseau REUSSIR, 2004).

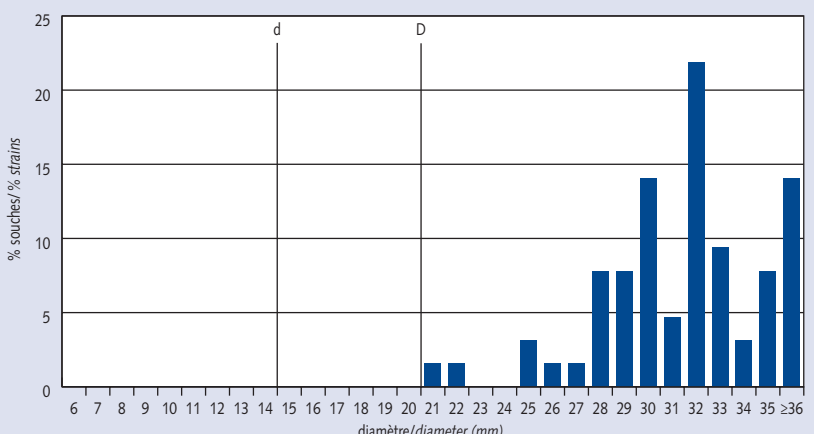
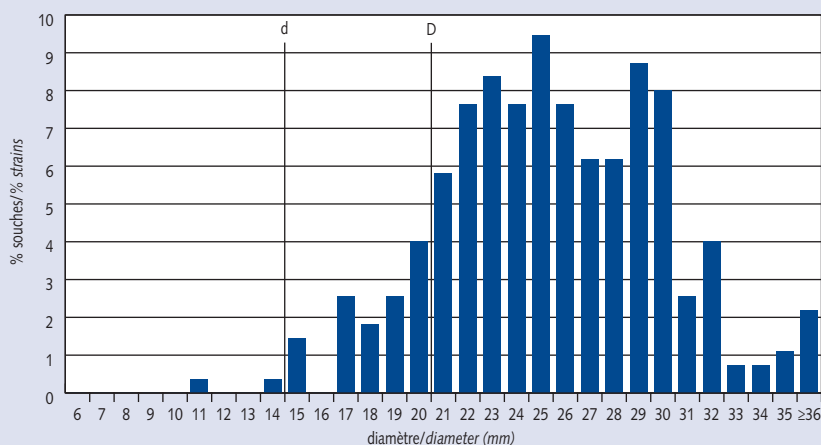


Figure 1.36

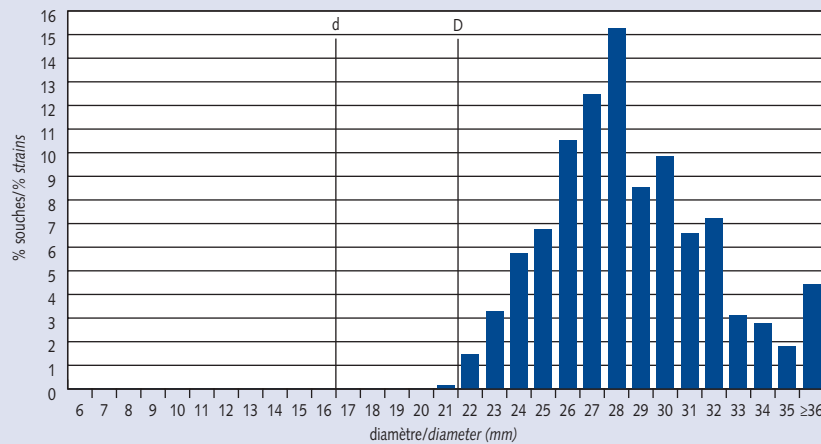
Enterobacter cloacae
(275 souches) :
distribution des
diamètres d'inhibition
pour le céfèpime sur les
souches résistantes au
céfotaxime.

Enterobacter cloacae
(275 strains):
distribution of inhibition
zone diameters for
cefepime on isolates
resistant to cefotaxime
(réseau REUSSIR, 2004).


Figure 1.37

Enterobacter cloacae
(609 souches) :
distribution des
diamètres d'inhibition
pour l'imipénème sur les
souches sensibles au
céfotaxime.

Enterobacter cloacae
(609 strains):
distribution of inhibition
zone diameters for imipenem on
isolates susceptible
to cefotaxime (réseau
REUSSIR, 2004).


Figure 1.38

Enterobacter cloacae
(285 souches) :
distribution des
diamètres d'inhibition
pour l'imipénème sur les
souches non sensibles
au céfotaxime.

Enterobacter cloacae
(285 strains):
distribution of inhibition
zone diameters for
imipenem on isolates
not susceptible
to cefotaxime (réseau
REUSSIR, 2004).

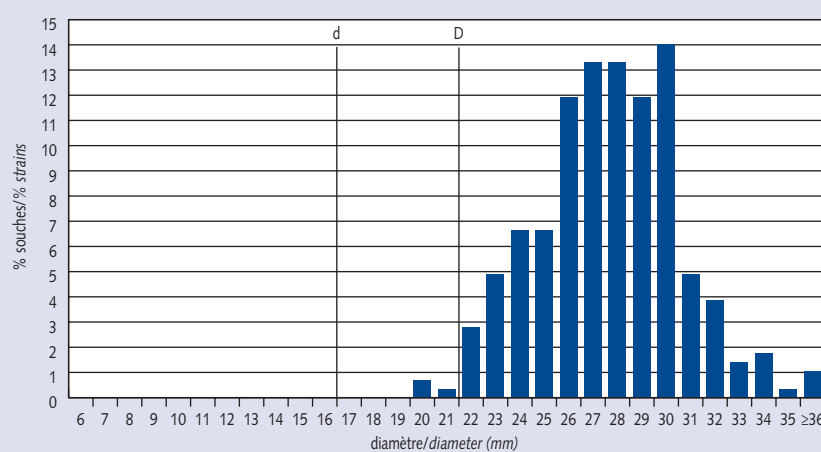


Figure 1.39

Enterobacter cloacae (59 souches) : distribution des diamètres d'inhibition pour le céfotaxime sur les souches sécrétrices de BLSE.

Enterobacter cloacae (59 strains): distribution of inhibition zone diameters for cefotaxim on ESBL-producing strains (réseau REUSSIR, 2004).

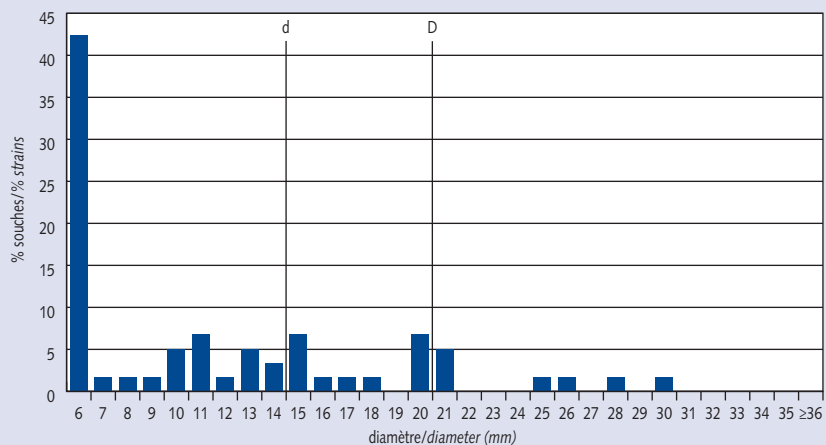


Figure 1.40

Enterobacter cloacae (55 souches) : distribution des diamètres d'inhibition pour la céftazidime sur les souches sécrétrices de BLSE.

Enterobacter cloacae (55 strains): distribution of inhibition zone diameters for ceftazidime on ESBL-producing strains (réseau REUSSIR, 2004).

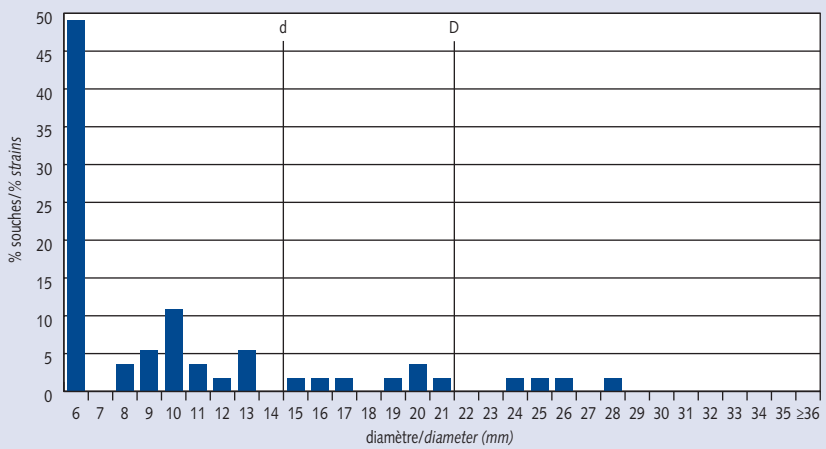


Figure 1.41

Enterobacter cloacae (45 souches) : distribution des diamètres d'inhibition pour le céfèpime sur les souches sécrétrices de BLSE.

Enterobacter cloacae (45 strains): distribution of inhibition zone diameters for cefepime on ESBL-producing strains (réseau REUSSIR, 2004).

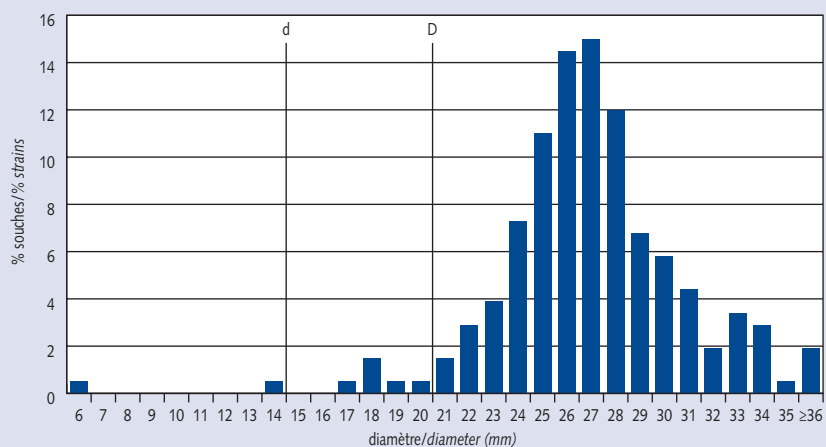


Figure 1.42

Klebsiella pneumoniae (99 souches) : distribution des diamètres d'inhibition pour le céfotaxime sur les souches sécrétrices de BLSE.

Klebsiella pneumoniae (99 strains): distribution of inhibition zone diameters for cefotaxime on ESBL-producing strains (réseau REUSSIR, 2004).

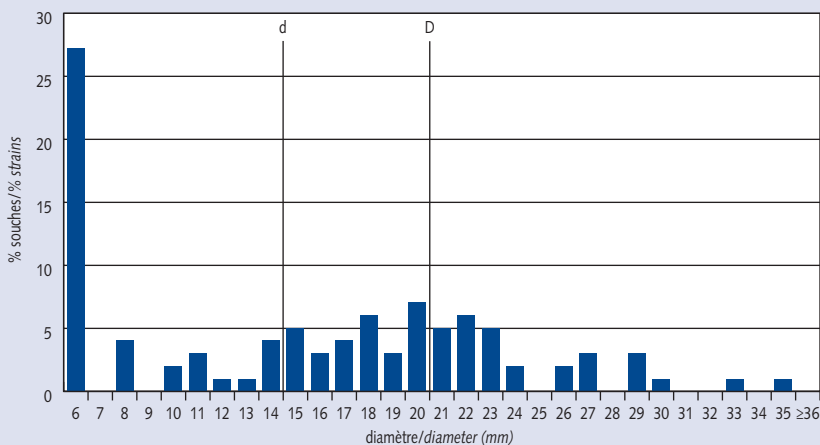


Figure 1.43

Klebsiella pneumoniae (55 souches) : distribution des diamètres d'inhibition pour la céftazidime sur les souches sécrétrices de BLSE.

Klebsiella pneumoniae (55 strains): distribution of inhibition zone diameters for ceftazidime on ESBL-producing strains (réseau REUSSIR, 2004).

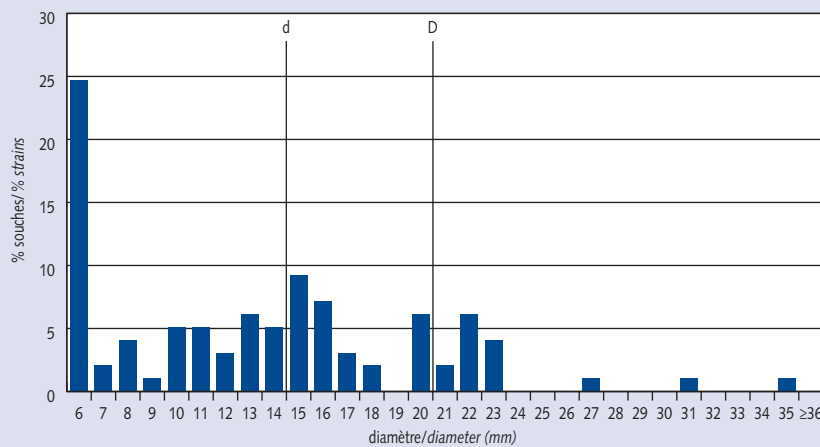


Figure 1.44

Klebsiella pneumoniae (74 souches) : distribution des diamètres d'inhibition pour le céfèpime sur les souches sécrétrices de BLSE.

Klebsiella pneumoniae (74 strains): distribution of inhibition zone diameters for cefepime on ESBL-producing strains (réseau REUSSIR, 2004).

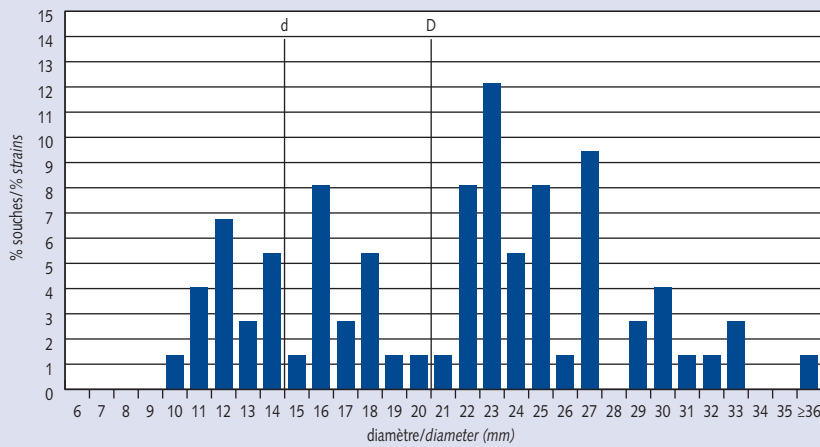


Figure 1.45

Pseudomonas aeruginosa (4 076 souches) : distribution des diamètres d'inhibition pour la ticarcilline.

Pseudomonas aeruginosa (4 076 strains) : distribution of inhibition zone diameters for ticarcillin (réseau REUSSIR, 2004).

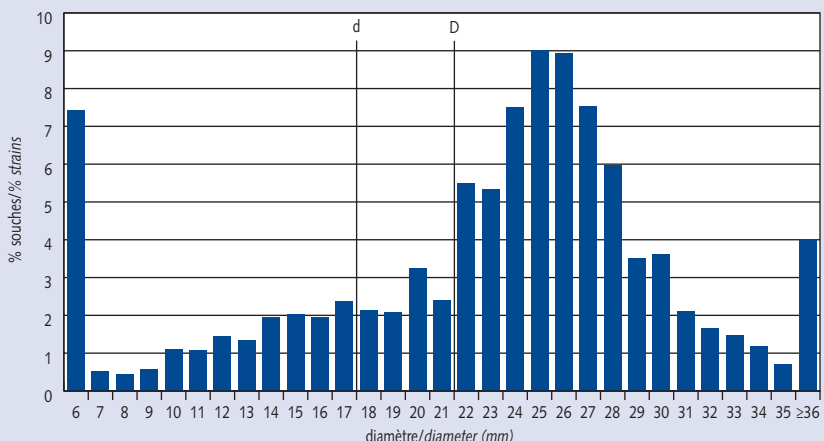


Figure 1.46

Pseudomonas aeruginosa (4 069 souches) : distribution des diamètres d'inhibition pour la pipéracilline.

Pseudomonas aeruginosa (4 069 strains) : distribution of inhibition zone diameters for piperacillin (réseau REUSSIR, 2004).

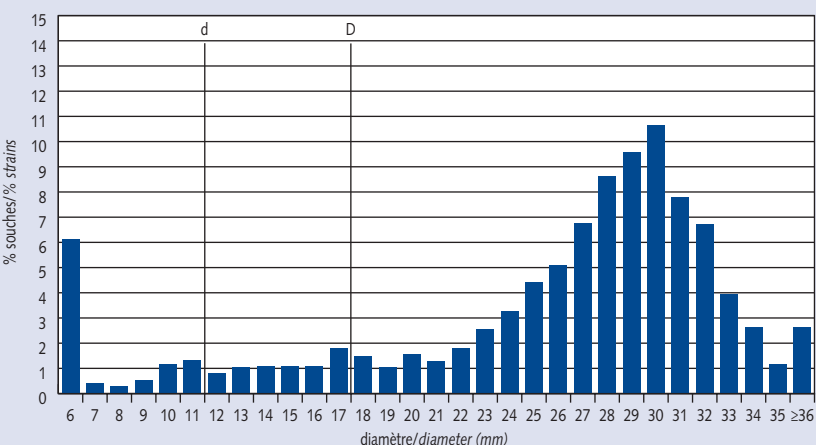


Figure 1.47

Pseudomonas aeruginosa (4 046 souches) : distribution des diamètres d'inhibition pour la pipéracilline/tazobactam.

Pseudomonas aeruginosa (4 046 strains) : distribution of inhibition zone diameters for piperacillin/tazobactam (réseau REUSSIR, 2004).

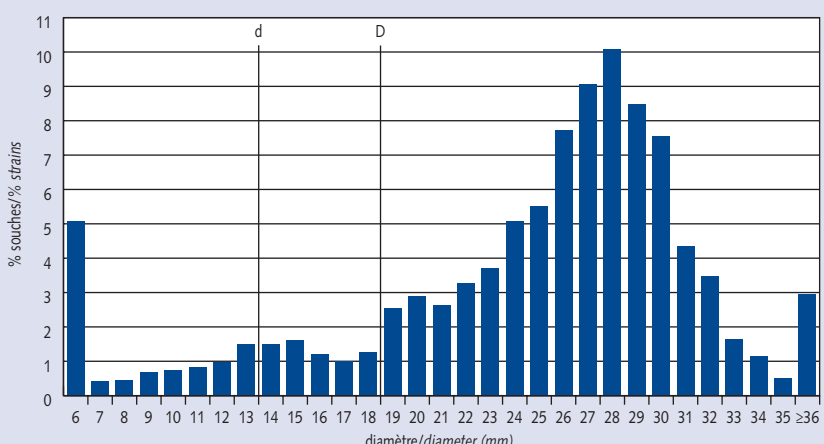


Figure 1.48

Pseudomonas aeruginosa (4 084 souches) : distribution des diamètres d'inhibition pour la ceftazidime.

Pseudomonas aeruginosa (4 084 strains): distribution of inhibition zone diameters for ceftazidime (réseau REUSSIR, 2004).

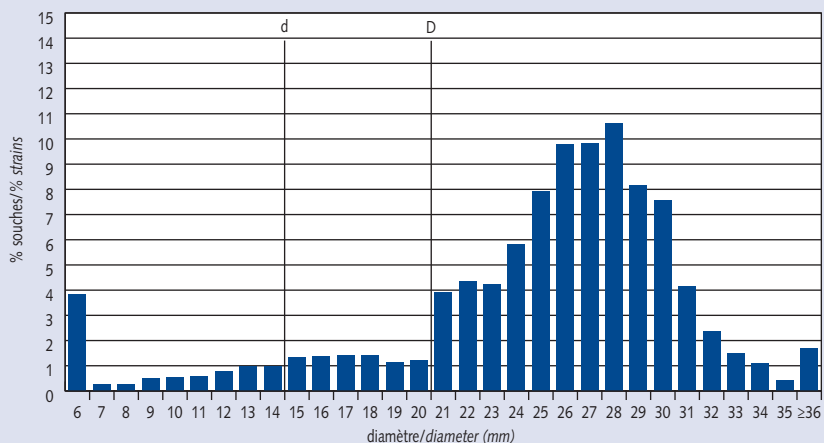


Figure 1.49

Pseudomonas aeruginosa (4 058 souches) : distribution des diamètres d'inhibition pour la ciprofloxacine.

Pseudomonas aeruginosa (4 058 strains): distribution of inhibition zone diameters for ciprofloxacin (réseau REUSSIR, 2004).

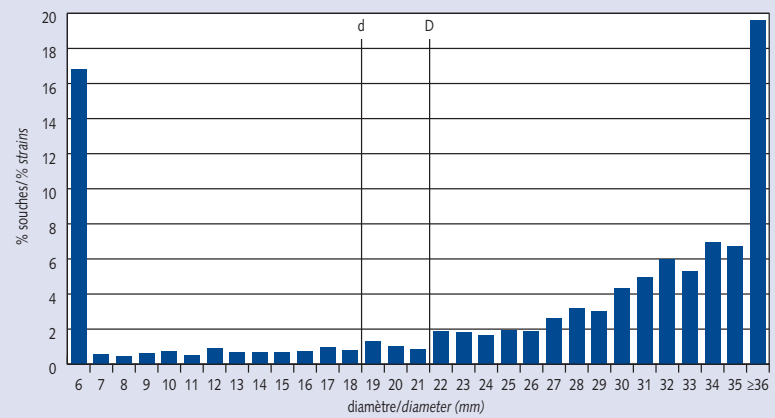


Figure 1.50

Pseudomonas aeruginosa (4 073 souches) : distribution des diamètres d'inhibition pour l'imipénème.

Pseudomonas aeruginosa (4 073 strains): distribution of inhibition zone diameters for imipenem (réseau REUSSIR, 2004).

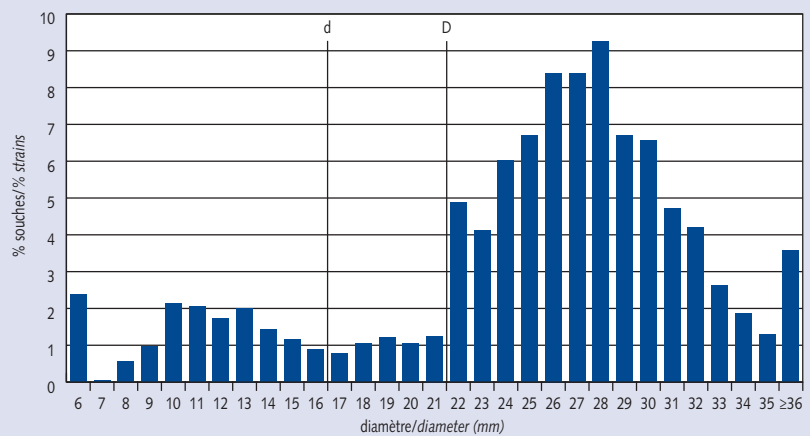


Figure 1.51

Pseudomonas aeruginosa (3 262 souches) : distribution des diamètres d'inhibition pour la pipéracilline/tazobactam sur les souches sensibles à la pipéracilline.

Pseudomonas aeruginosa (3 262 strains) : distribution of inhibition zone diameters for piperacillin/tazobactam on isolates susceptible to piperacillin (réseau REUSSIR, 2004).

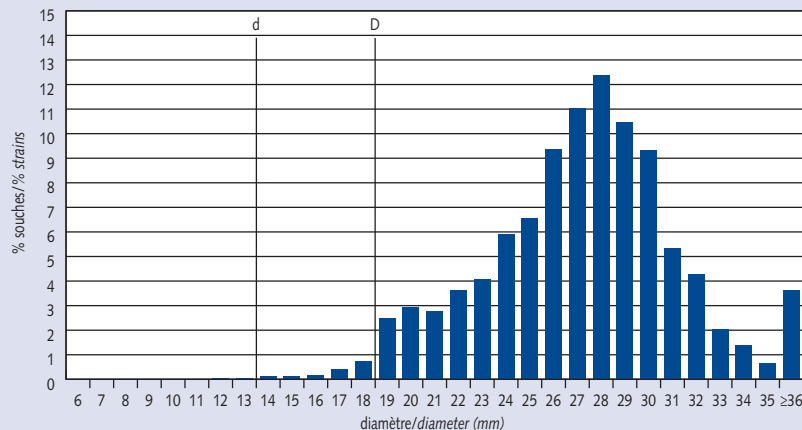


Figure 1.52

Pseudomonas aeruginosa (784 souches) : distribution des diamètres d'inhibition pour la pipéracilline/tazobactam sur les souches non sensibles à la pipéracilline.

Pseudomonas aeruginosa (784 strains) : distribution of inhibition zone diameters for piperacillin/tazobactam on isolates not susceptible (I+R) to piperacillin (réseau REUSSIR, 2004).

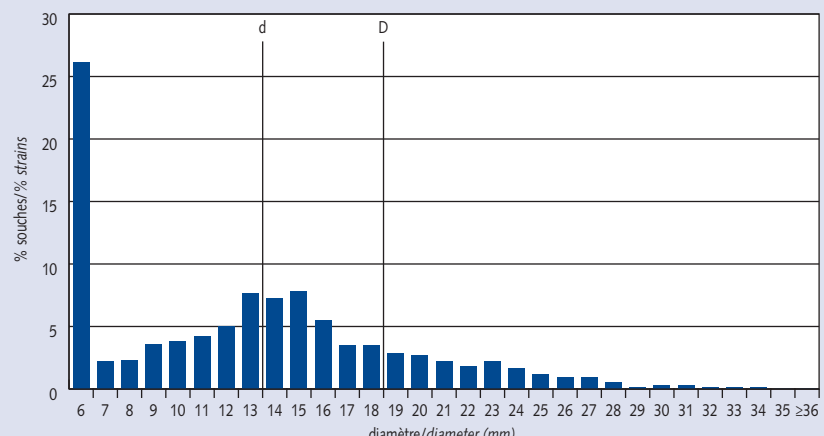


Figure 1.53

Enterococcus faecalis
(1 133 souches) :
distribution des
diamètres d'inhibition
pour l'ampicilline.

Enterococcus faecalis
(1 133 strains):
distribution of inhibition
zone diameters for
ampicillin (réseau
REUSSIR, 2004).

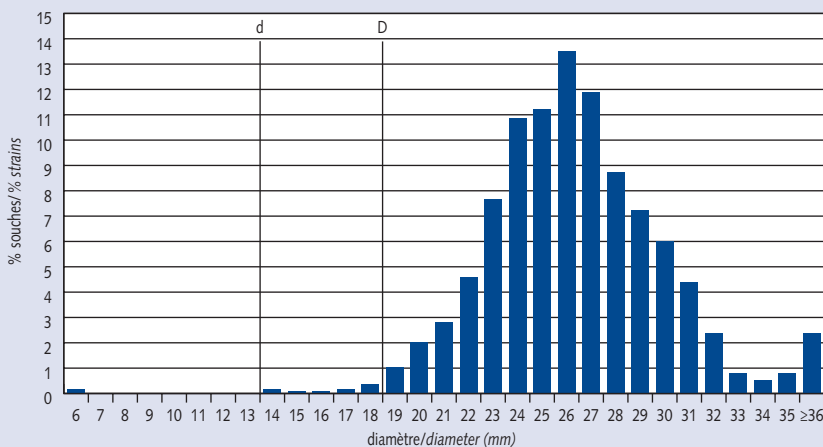


Figure 1.54

Enterococcus faecium
(61 souches) :
distribution des
diamètres d'inhibition
pour l'ampicilline.

Enterococcus faecium
(61 strains): distribution
of inhibition zone
diameters for ampicillin
(réseau REUSSIR, 2004).

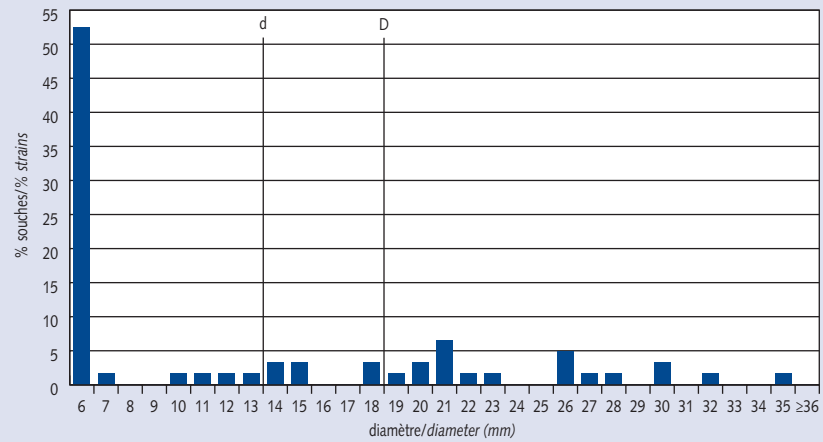


Figure 1.55

Escherichia coli
(1 540 souches) :
distribution des
diamètres d'inhibition
pour le cotrimoxazole,
souches isolées chez la
volaille.

Escherichia coli
(1 540 strains):
distribution of inhibition
zone diameters for
cotrimoxazole, strains
isolated from poultry
(RESAPATH, 2004).

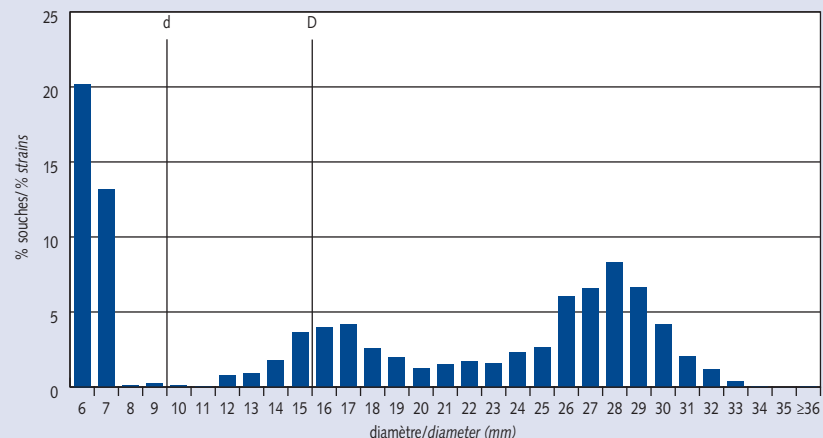


Figure 1.56

Escherichia coli (1 401 souches) : distribution des diamètres d'inhibition pour le cotrimoxazole, souches isolées chez le porc.

Escherichia coli (1 401 strains) : distribution of inhibition zone diameters for cotrimoxazole strains isolated from swine (RESAPATH, 2004).

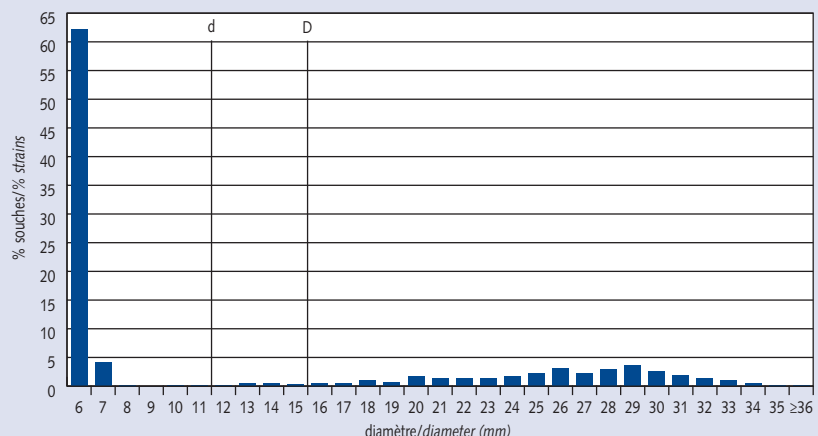


Figure 1.57

Escherichia coli (1 683 souches) : distribution des diamètres d'inhibition pour le ceftiofur, souches isolées chez la volaille.

Escherichia coli (1 683 strains) : distribution of inhibition zone diameters for ceftiofur, strains isolated from poultry (RESAPATH, 2004).

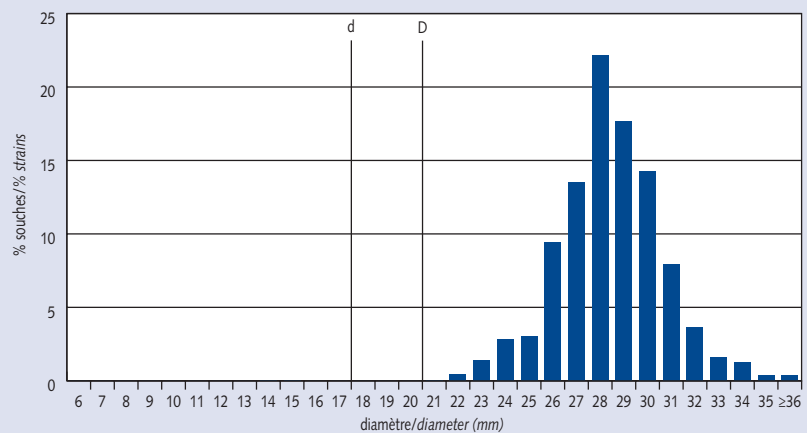


Figure 1.58

Escherichia coli (1 413 souches) : distribution des diamètres d'inhibition pour le ceftiofur, souches isolées chez le porc.

Escherichia coli (1 413 strains) : distribution of inhibition zone diameters for ceftiofur, strains isolated from swine (RESAPATH, 2004).

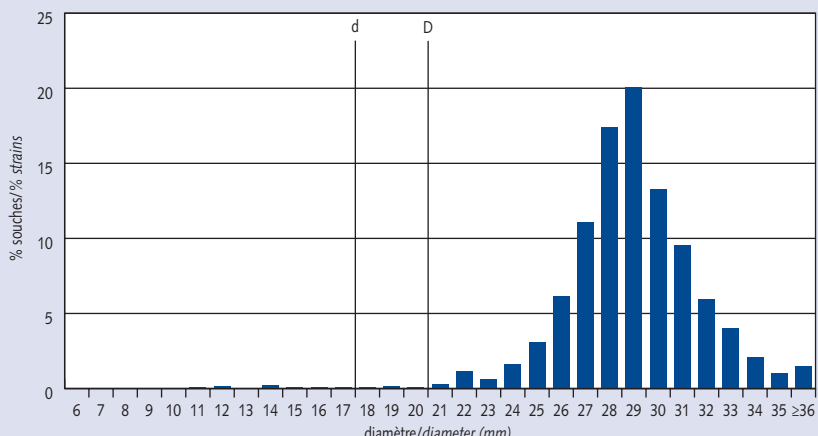


Figure 1.59

Escherichia coli (1 787 souches) : distribution des diamètres d'inhibition pour le ceftiofur, souches isolées chez les bovins.

Escherichia coli (1 787 strains) : distribution of inhibition zone diameters for ceftiofur, strains isolated from cattle (RESAPATH, 2004).

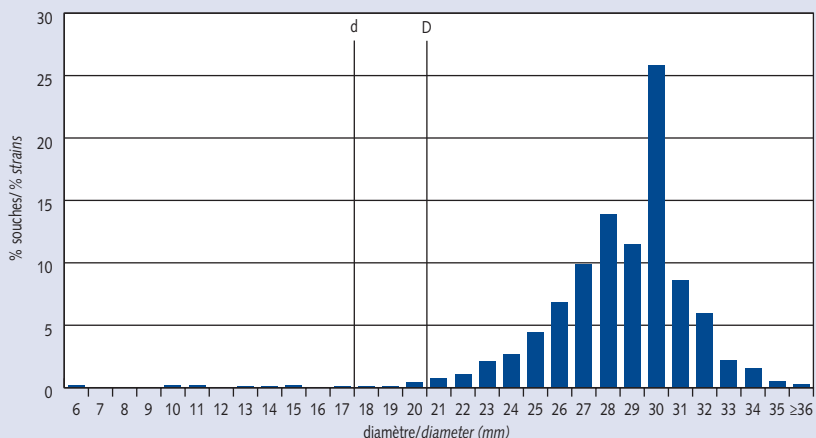


Figure 1.60

Escherichia coli (1 838 souches) : distribution des diamètres d'inhibition pour l'enrofloxacine, souches isolées de bovins.

Escherichia coli (1 838 strains) : distribution of inhibition zone diameters for enrofloxacin, strains isolated from cattle (RESAPATH, 2004).

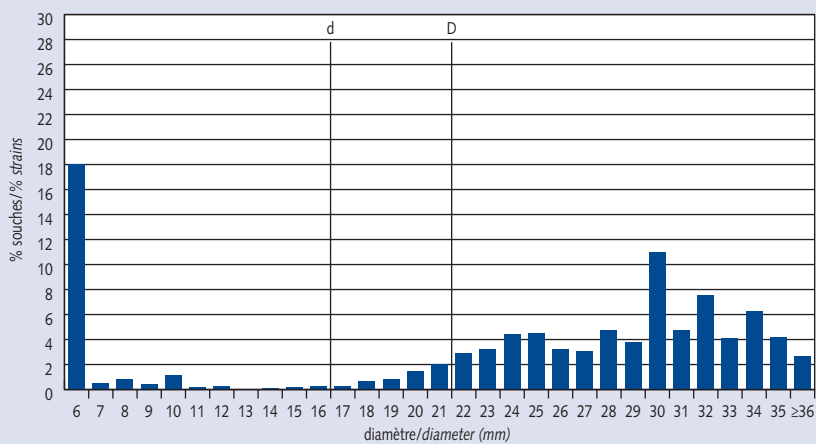
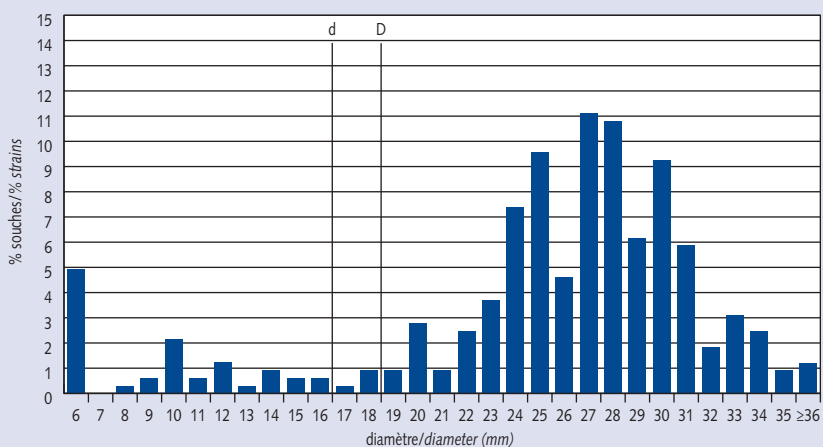


Figure 1.61

Streptococcus uberis (324 souches) : distribution des diamètres d'inhibition pour la tétracycline, souches isolées de bovins.

Streptococcus uberis (324 strains) : distribution of inhibition zone diameters for tetracyclin, strains isolated from cattle (RESAPATH, 2004).



ANNEXE 1 / APPENDIX 1

Tableau 1.1

*Escherichia coli : distribution des diamètres d'inhibition, souches responsables de bactériémies.
Escherichia coli: distribution of inhibition zone diameters, strains isolated from bacteraemia (réseau Azay-résistance, 2004).*

Souches/ <i>Strains</i>	Antibiotique/ <i>Antibiotic</i>	Total souches/ <i>N strains</i>										Nombre de souche ayant un diamètre (mm) de :/ <i>Number of strains with a diameter (mm) of:</i>																						
		d	D	<	≥	6	7	8	9	10	11	12	13	14	15	16	17	18	19	20	21	22	23	24	25	26	27	28	29	30	31	32	33	34
Toutes/All	Amoxicilline	14	21	422	203	2	2	1	1	1	1	1	1	1	1	1	1	1	1	10	19	26	35	29	39	24	9	5	6	1	3	1	4	1
	Amoxicilline+clavulanate	14	21	282	4	3	4	2	6	3	5	13	8	7	11	21	17	33	32	24	15	21	28	6	4	5	1	1	1	1	8			
	Céfotaxime	15	21	421	5			1	1	1	1	1	1	1	1	1	1	1	1	1	1	1	1	3	4	10	16	30	38	55	53	45	87	66
	Imipénème	17	22	416																														
	Gentamicine	14	16	421	19	1	2	3	3	1	1	9	16	47	51	42	35	43	51	41	29	17	7	1	1	1	1	1	1	1	1	1	1	
	Ciprofloazole	11	16	266	75	1	1	1	1	3	2	1	1	3	5	9	4	5	7	12	15	21	21	23	20	16	9	6	1	4	4			
	Ac. nalidixique	15	20	869	128	1	3	2	3	2	1	1	1	2	11	22	47	51	102	101	132	81	70	50	25	13	5	4	1	3	5			
	Ciprofloxacine	19	22	711	46	16	3	3	1	1	1	3	2	7	3	10	20	20	36	47	41	34	48	33	25	137	174							
Sac. nalidixique	Ciprofloxacine	19	22	595																														
R ac. nalidixique	Ciprofloxacine	19	22	113	46	16	3	3	1	1	1	3	2	6	2	4	8	6	4	3	1	2	1	1	1	1	1	1	1	1	1	1		
S Amoxicilline	Amoxicilline + clavulanate	14	21	141																														
R Amoxicilline	Amoxicilline + clavulanate	14	21	140	4	3	4	2	6	3	5	13	8	7	11	20	17	23	6	3	2	2	1	1	1	1	1	1	1	1	1	1		

S : sensible/susceptible ; R : résistant/résistant

Tableau 1.2

*Escherichia coli : distribution des diamètres d'inhibition.
Escherichia coli: distribution of inhibition zone diameters (réseau REUSSIR, 2004).*

Souches/ <i>Strains</i>	Antibiotique/ <i>Antibiotic</i>	Total souches/ <i>N strains</i>										Nombre de souche ayant un diamètre (mm) de :/ <i>Number of strains with a diameter (mm) of:</i>																							
		d	D	<	≥	6	7	8	9	10	11	12	13	14	15	16	17	18	19	20	21	22	23	24	25	26	27	28	29	30	31	32	33	34	35
Toutes/All	Ofluoxacine	16	22	7044	459	7	19	29	22	18	15	12	7	8	6	10	14	21	26	21	78	92	110	134	205	260	357	419	568	613	680	653	580	491	1110
	Ciprofloxacine	19	22	8224	504	6	15	33	33	28	39	32	13	18	12	6	8	3	10	7	37	33	57	58	105	120	194	240	357	464	540	642	700	600	3310
S ac. nalidixique	Ofluoxacine	16	22	4316	0	0	0	0	0	0	0	0	0	0	0	0	0	0	0	0	0	0	0	0	0	0	0	0	0	0	0	0	0	0	
S ac. nalidixique	Ciprofloxacine	19	22	6391	0	0	0	0	0	0	0	0	0	0	0	0	0	0	0	0	0	0	0	0	0	0	0	0	0	0	0	0	0	0	
R ac. nalidixique	Ofluoxacine	16	22	845	399	4	15	24	16	12	13	11	6	6	7	12	14	17	20	42	52	53	32	45	23	24	13	9	8	10	4	3	4	1	
R ac. nalidixique	Ciprofloxacine	19	22	1256	478	4	13	28	30	24	37	31	13	18	10	6	8	2	6	7	23	22	31	34	52	55	68	46	60	35	25	32	21	17	20
BLSEESBL	Céfotaxime	15	21	237	58	1	4	6	9	6	12	9	14	11	5	11	11	6	9	7	13	9	3	5	3	3	7	3	2	5	1	0	0	2	
BLSEESBL	Céftazidime	15	21	227	36	2	5	1	3	6	5	13	11	12	14	8	12	9	12	4	7	8	9	10	9	3	6	4	2	4	2	0	1	1	
BLSEESBL	Céfépime	15	21	163	7	0	1	0	0	4	5	10	5	7	6	11	4	9	6	5	16	10	11	14	7	6	10	2	2	2	0	1	0	0	

S : sensible/susceptible ; R : résistant/résistant ; BLSE : bêta-lactamase à spectre étendu/ESBL : extended spectrum beta-lactamase

Tableau 1.3 Enterobacter aerogenes : distribution des diamètres d'inhibition.
Enterobacter aerogenes: distribution of inhibition zone diameters (réseau REUSSIR, 2004).

Souches/ Strains	Antibiotique/ Antibiotic	Total souches/ N strains												Nombre de souche ayant un diamètre (mm) de :/ Number of strains with a diameter (mm) of:																							
		<	≥	d	D	6	7	8	9	10	11	12	13	14	15	16	17	18	19	20	21	22	23	24	25	26	27	28	29	30	31	32	33	34	35	≥ 36	
Toutes/All	Céfotaxime	15	21	803	8	0	2	4	5	6	11	15	27	29	31	40	57	38	51	47	34	39	32	18	27	29	31	33	26	38	16	24	19	66			
	Céfèpime	15	21	536	1	0	0	0	0	0	0	1	4	1	1	3	7	11	21	28	36	35	36	32	28	37	37	43	31	105							
	Imipénème	17	22	481	0	0	0	0	0	0	1	0	1	0	1	0	14	10	19	42	39	49	62	64	63	35	34	16	10	9	9						
S céfotaxime	Céfèpime	15	21	257	1	0	0	0	0	0	0	0	0	0	0	0	1	1	2	2	7	13	21	23	27	27	20	17	26	24	11	16	7	11			
R céfotaxime	Céfèpime	15	21	78	0	0	0	0	0	0	0	0	0	0	0	0	0	0	0	1	5	3	8	7	13	5	7	8	6	4	1	3	0	1			
S céfotaxime	Imipénème	17	22	194	0	0	0	0	0	0	0	0	0	0	0	0	0	0	0	0	0	0	0	0	0	0	0	0	0	0	0	0	0	0			
R céfotaxime	Imipénème	16	22	288	0	0	0	0	0	0	0	1	0	1	0	1	0	1	0	1	0	1	6	5	7	23	24	30	41	38	40	21	22	10	6	4	5
BLSEESBL	Céfotaxime	19	22	334	3	0	0	0	1	2	3	4	2	16	9	21	28	45	25	39	32	18	23	16	9	11	13	5	1	2	3	1	1	0	0	0	0
BLSEESBL	Céfazidime	16	22	335	275	6	4	2	6	4	1	6	2	0	5	3	3	5	4	1	1	2	0	3	0	0	0	0	0	0	0	0	0	0	0		
BLSEESBL	Céfèpime	19	22	206	1	0	0	0	0	0	0	1	0	0	1	1	1	1	1	1	3	6	8	15	23	30	31	25	14	12	9	4	7	6	1	4	

S : sensible/susceptible ; R : résistant/résistant^r; BLSE : bêta-lactamase à spectre étendu/ESBL : extended spectrum beta-lactamase

Tableau 1.4 Enterobacter cloace : distribution des diamètres d'inhibition.
Enterobacter cloace: distribution of inhibition zone diameters (réseau REUSSIR, 2004).

Souches/ Strains	Antibiotique/ Antibiotic	Total souches/ N strains												Nombre de souche ayant un diamètre (mm) de :/ Number of strains with a diameter (mm) of:																						
		<	≥	d	D	6	7	8	9	10	11	12	13	14	15	16	17	18	19	20	21	22	23	24	25	26	27	28	29	30	31	32	33	34	35	≥ 36
Toutes/All	Céfotaxime	15	21	1296	223	5	11	10	15	14	24	17	19	13	15	7	8	15	17	12	15	18	11	37	35	61	62	96	93	119	80	63	49	114		
	Céfèpime	15	21	900	0	0	0	1	0	0	1	4	0	7	5	7	11	17	22	23	23	30	24	23	33	37	40	33	61	49	62	57	330			
	Imipénème	17	22	894	0	0	0	0	0	0	0	0	0	0	0	0	0	2	2	17	34	54	60	98	114	131	86	100	54	55	23	22	12	30		
S céfotaxime	Céfèpime	15	21	64	0	0	0	0	0	0	0	0	0	0	0	0	0	1	1	0	0	2	1	1	1	5	9	3	14	6	2	5	9			
R céfotaxime	Céfèpime	15	21	275	0	0	0	0	0	0	1	0	0	1	4	0	7	5	7	11	16	21	23	21	17	17	24	22	7	11	2	3	6			
S céfotaxime	Imipénème	17	22	609	0	0	0	0	0	0	0	0	0	0	0	0	0	0	1	9	20	35	41	64	76	93	52	60	40	44	19	17	11	27		
R céfotaxime	Imipénème	17	22	285	0	0	0	0	0	0	0	0	0	0	0	0	0	0	0	0	1	2	1	8	14	19	34	38	38	34	40	14	11	4	5	1
BLSEESBL	Céfotaxime	19	22	59	25	1	1	3	4	1	3	2	4	1	1	0	4	3	0	0	1	1	0	1	0	1	0	1	0	0	0	0	0	0	0	
BLSEESBL	Céfazidime	16	22	55	27	0	2	3	6	2	1	3	0	1	1	1	0	1	2	1	0	1	1	0	1	0	0	0	0	0	0	0	0	0	0	
BLSEESBL	Céfèpime	19	22	45	0	0	0	0	1	0	0	0	0	3	1	1	3	2	4	1	0	6	5	2	2	3	4	2	0	2	0	2	0			

S : sensible/susceptible ; R : résistant/résistant^r; BLSE : bêta-lactamase à spectre étendu/ESBL : extended spectrum beta-lactamase

ANNEXE 1 / APPENDIX 1

Tableau 1.5 Klebsiella pneumoniae : distribution des diamètres d'inhibition.
Klebsiella pneumoniae: distribution of inhibition zone diameters (réseau REUSSIR, 2004).

Souches/ Strains	Antibiotique/ Antibiotic	Total										Nombre de souche ayant un diamètre (mm) de :/ Number of strains with a diameter (mm) of:																						
		d	D	souches/ N strains	6	7	8	9	10	11	12	13	14	15	16	17	18	19	20	21	22	23	24	25	26	27	28	29	30	31	32	33	34	35
BLSE/ESBL	Céftaxime	15	21	99	27	0	4	0	2	3	1	1	4	5	3	4	6	3	7	5	6	5	2	0	2	3	0	3	1	0	0	1	0	
BLSE/ESBL	Céfazidime	15	21	97	24	2	4	1	5	5	3	6	5	9	7	3	2	0	6	2	6	4	2	0	0	0	1	0	0	0	0	0	0	
BLSE/ESBL	Céfepime	15	21	74	0	0	0	1	3	5	2	4	1	6	2	4	1	1	1	6	9	4	6	1	7	0	2	3	1	1	2	0	0	1

BLSE : bêta-lactamase à spectre étendu/ESBL: extended spectrum beta-lactamase

Tableau 1.6 Pseudomonas aeruginosa : distribution des diamètres d'inhibition.
Pseudomonas aeruginosa: distribution of inhibition zone diameters, (réseau REUSSIR, 2004).

Souches/ Strains	Antibiotique/ Antibiotic	Total										Nombre de souche ayant un diamètre (mm) de :/ Number of strains with a diameter (mm) of:																							
		d	D	souches/ N strains	6	7	8	9	10	11	12	13	14	15	16	17	18	19	20	21	22	23	24	25	26	27	28	29	30	31	32	33	34	35	≥ 36
Toutes/A/	Ticarcilline	18	22	4076	302	21	18	23	45	44	59	54	79	82	79	97	87	85	132	98	224	217	306	367	364	307	243	143	147	86	67	60	48	29	163
Pipéacilline	12	18	4069	250	17	12	22	48	54	33	43	45	44	74	60	43	64	52	73	104	134	180	207	275	351	390	433	317	274	161	108	48	108		
Pipéacilline/razobactam	14	19	4046	205	17	18	28	30	33	40	61	61	65	49	41	51	103	117	107	133	150	206	223	313	367	306	176	141	67	47	21	119			
Ceftazidime	15	21	4084	157	11	11	20	22	24	31	39	39	55	56	58	58	46	50	160	178	173	237	324	400	401	434	333	308	170	97	61	45	17	69	
Ciprofloxacine	19	22	4058	682	24	18	26	30	20	36	27	27	30	39	32	52	42	34	75	73	66	79	77	106	130	122	176	200	243	215	282	272	796		
Imipénème	17	22	4073	97	2	23	39	87	84	70	82	58	47	36	32	43	49	43	51	199	168	245	273	342	341	377	273	267	192	171	107	76	53	146	
S pipéacilline	Pipéacilline/razobactam	14	19	3262	0	0	0	0	1	1	4	4	6	14	24	81	96	90	119	133	193	214	306	360	404	342	304	174	140	66	46	21	119		
R pipéacilline	Pipéacilline/razobactam	14	19	784	205	17	18	28	30	33	39	60	57	61	43	27	27	22	21	17	14	17	13	9	7	7	4	1	2	1	1	0	0		

S : sensible/susceptible ; R : résistant/résistant

Tableau 1.7 Enterococcus faecalis : distribution des diamètres d'inhibition.
Enterococcus faecalis: distribution of inhibition zone diameters (réseau REUSSIR, 2004).

Souches/ Strains	Antibiotique/ Antibiotic	Total										Nombre de souche ayant un diamètre (mm) de :/ Number of strains with a diameter (mm) of:																						
		d	D	souches/ N strains	6	7	8	9	10	11	12	13	14	15	16	17	18	19	20	21	22	23	24	25	26	27	28	29	30	31	32	33	34	35
Toutes/A/	Ampicilline	14	19	1 133	2	0	0	0	0	0	0	0	2	1	2	4	12	23	32	52	87	123	127	153	135	99	82	68	50	27	9	6	9	27

Tableau 1.8
*Enterococcus faecium : distribution des diamètres d'inhibition.
Enterococcus faecium: distribution of inhibition zone diameters (réseau REUSSIR, 2004).*

Souches/ <i>Strains</i>	Antibiotique/ <i>Antibiotic</i>	d < ≥	Total souches/ N strains	6	7	8	9	10	11	12	13	14	15	16	17	18	19	20	21	22	23	24	25	26	27	28	29	30	31	32	33	34	35	≥ 36
Toutes/All	Ampicilline		14 19	61	32	1	0	0	1	1	1	2	2	0	0	2	1	2	4	1	1	0	0	3	1	0	2	0	1	0	0	1	0	
Toutes/All																																		

Tableau 1.9
*Escherichia coli : distribution des diamètres d'inhibition, tous prélevements chez les bovins.
Escherichia coli: distribution of inhibition zone diameters, strains isolated from cattle (réseau RESAPATH, 2004).*

Souches/ <i>Strains</i>	Antibiotique/ <i>Antibiotic</i>	d < ≥	Total souches/ N strains	6	7	8	9	10	11	12	13	14	15	16	17	18	19	20	21	22	23	24	25	26	27	28	29	30	31	32	33	34	35	≥ 36
Toutes/All	Amoxicilline		14 21	836	651	10	3	1	2	1	4	1	2	3	5	13	7	4	8	14	15	25	20	15	21	7	4							
	Amoxicilline + clavulanate		14 21	1593	124	9	29	26	65	60	52	53	57	56	61	73	97	141	143	112	97	84	75	49	34	18	9	1	1	2				
	Céftiofur		18 21	1787	3																													
	Gentamicine		14 16	1937	178	5	16	22	49	48	63	29	16	10	12	18	51	73	288	211	364	266	137	68	26	7	6	2	1	1				
	Emtodoxacine		17 22	1838	331	10	16	8	21	3	5	2	3	5	5	12	15	27	37	53	59	82	60	57	88	70	202	87	139	76	115	77	90	
Toutes/All																																		

Tableau 1.10
*Streptococcus uberis : distribution des diamètres d'inhibition, tous prélevements chez les bovins.
Streptococcus uberis: distribution of inhibition zone diameters, strains isolated from cattle (réseau RESAPATH, 2004).*

Souches/ <i>Strains</i>	Antibiotique/ <i>Antibiotic</i>	d < ≥	Total souches/ N strains	6	7	8	9	10	11	12	13	14	15	16	17	18	19	20	21	22	23	24	25	26	27	28	29	30	31	32	33	34	35	≥ 36
Toutes/All	Erythromycine		17 22	441	62	4	4	6	7	3	3	1	2	1	2	1	2	1	8	18	28	29	41	43	40	36	30	17	11	14	7	17		
	Lincomycine		17 21	419	55	1	2	2	1	2	1	3	3	2	5	5	7	3	10	11	15	20	14	13	21	37	36	30	17	26	15	25		
	Spiramycine		19 24	431	64	1	5	7	4	5	3	2	1	5	5	10	19	22	27	20	23	19	25	35	22	32	12	12	5	5	4	4	2	
	Tétracycline		17 19	324	16	1	2	7	2	4	1	3	2	2	1	3	3	9	3	8	12	24	31	15	36	35	20	30	19	6	10	8	3	8
Toutes/All																																		

Tableau 1.11

Escherichia coli : distribution des diamètres d'inhibition, souches isolées de tous prélevements chez la volaille.
Escherichia coli: distribution of inhibition zone diameters, strains isolated from poultry (RESAPATH, 2004).

Antibiotique/Antibiotic	d <	D ≥	Total souches/ N strains	Nombre de souche ayant un diamètre (mm) de J/ Number of strains with a diameter (mm) of J																													
				6	7	8	9	10	11	12	13	14	15	16	17	18	19	20	21	22	23	24	25	26	27	28	29	30	31	32	33	34	35
Amoxicilline	14	21	1724	571	254	1	2	1	1	1	1	1	1	1	1	1	6	8	35	54	114	125	134	165	105	85	44	11	4	1	1	1	
Amoxicilline + clavulanate	14	21	243	1	1	1	1	3	1	1	1	1	4	4	3	7	4	28	37	26	23	31	31	18	12	2	3	1	1	1			
Cefotifur	18	21	1683	4	1	4	5	6	2	4	3	2	3	3	7	28	81	247	334	396	224	142	56	21	5	2	1	27	21	6	6		
Gentamicine	14	16	1580	311	203	2	4	2	1	12	14	27	56	61	64	40	30	19	23	26	24	35	41	93	101	128	102	64	31	18	6	1	1
Cotrimoxazole	10	16	1540	12	4	1	1	1	1	2	2	5	13	13	13	31	65	64	44	54	48	35	42	89	129	172	203	190	159	106	67	73	
Enrofloxacine	17	22	1625	12	4	1	1	1	1	2	2	5	13	13	13	31	65	64	44	54	48	35	42	89	129	172	203	190	159	106	67	73	

Tableau 1.12

Escherichia coli : distribution des diamètres d'inhibition, souches isolées de tous prélevements chez le porc.
Escherichia coli: distribution of inhibition zone diameters, strains isolated from swine (RESAPATH, 2004).

Antibiotique/Antibiotic	d <	D ≥	Total souches/ N strains	Nombre de souche ayant un diamètre (mm) de J/ Number of strains with a diameter (mm) of J																												
				6	7	8	9	10	11	12	13	14	15	16	17	18	19	20	21	22	23	24	25	26	27	28	29	30	31	32	33	34
Amoxicilline	14	21	1324	647	47	2	3	1	2	3	3	3	2	5	11	15	20	22	46	60	98	66	84	79	58	24	13	5	2	1	2	
Amoxicilline + clavulanate	14	21	764	1	1	1	1	5	3	3	2	4	9	16	8	21	41	70	106	107	87	81	69	63	37	15	7	3	1	1	1	
Cefotifur	18	21	1413	1	1	1	2	3	1	1	1	1	1	2	1	2	1	4	16	9	23	44	87	157	246	284	188	135	84	57	30	21
Gentamicine	14	16	1166	30	3	5	3	4	7	5	7	9	3	2	7	26	32	113	214	233	207	124	70	30	13	11	1	4	2	1	1	1
Cotrimoxazole	10	16	1401	870	58	3	1	1	6	7	5	8	8	13	9	24	18	18	19	25	32	44	32	42	50	36	27	19	14	7	3	1
Enrofloxacine	17	22	1412	54	4	8	2	2	4	1	3	2	3	9	15	31	31	46	49	50	47	60	113	127	149	150	144	121	72	45	70	